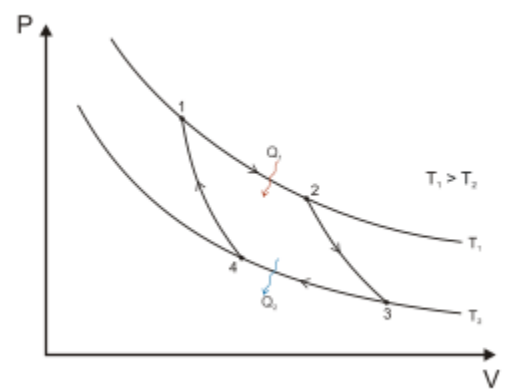
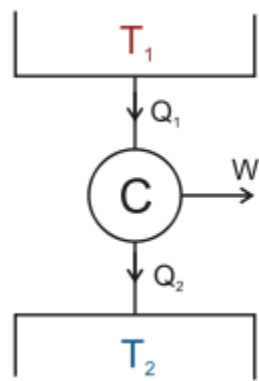




ANEXOS



Química Física I
Termodinámica

Área de Química Física
Departamento de Química
F.Q.B.F. – U.N.S.L.

Contenido

Tabla Periódica de los Elementos.....	2
Constantes Fundamentales y Datos Generales.....	3
Ajuste por Mínimos Cuadrados	4
Tablas de Conversiones y Equivalencias de Unidades	5
Tablas de Datos.....	9
Tabla 1. Segundo coeficiente del virial $B / \text{cm}^3 \text{ mol}^{-1}$	9
Tabla 2. Constantes críticas de los gases	9
Tabla 3. Coeficientes de Van der Waals.....	11
Tabla 4. Entalpías de enlace promedio $\Delta H^\circ (\text{A-B}) / \text{kJ mol}^{-1}$	11
Tabla 5. Coeficiente de fugacidad de nitrógeno a 273 K	11
Tabla 6. Constantes de la ecuación de <i>Antoine</i> para las presiones de vapor de especies puras..	12
Tabla 7. Entalpías de fusión y de vaporización estándar a la temperatura de transición $\Delta_{\text{tr}}H^\circ / \text{kJ mol}^{-1}$	13
Tabla 8. Entropías estándar ($\Delta_{\text{tr}}S^\circ / \text{J K}^{-1} \text{ mol}^{-1}$) (y temperaturas) de transición de fase a 1 atm	13
Tabla 9. Entalpías y entropías de vaporización estándar de líquidos en su punto de ebullición normal.....	13
Tabla 10. Datos termodinámicos para compuestos orgánicos a 298 K.....	14
Tabla 11. Datos termodinámicos para compuestos inorgánicos a 298 K.....	15
Tabla 12. Capacidades caloríficas de gases en el estado de gas ideal	19
Tabla 13. Capacidades caloríficas de sólidos	20
Tabla 14. Capacidades caloríficas de líquidos.....	21
Tabla 15. Conductividades iónicas a dilución infinita / $\text{S cm}^2 \text{ mol}^{-1}$, en agua a 298 K	21
Tabla 16. Conductividades iónicas a dilución infinita / $\text{S cm}^2 \text{ mol}^{-1}$, en agua a diferentes temperaturas.....	22
Tabla 17. Conductividad (κ) y conductividad molar (Λ) de KCl en disolución acuosa a diversas concentraciones a 298 K y 1 atm.....	22
Tabla 18. Constantes de acidez en soluciones acuosas a 298 K, ordenados por fuerza del ácido	23
Tabla 19. Constantes de acidez en soluciones acuosas a 298 K, en orden alfabético	24
Tabla 20. Potenciales Estándar a 298 K, en orden electroquímico.....	25
Tabla 21. Potenciales Estándar a 298 K, en orden alfabético	26
Diagrama de Compresibilidad Generalizado	27
Diagrama del Coeficiente de Fugacidad en función de propiedades reducidas	28

Tabla Periódica de los Elementos

IUPAC Periodic Table of the Elements



1	H hydrogen 1.008(4)	2	He helium 4.0026(2)
3	Li lithium 6.941(4)	4	B boron 10.81(4)
5	Be beryllium 11.81(4)	6	O oxygen 15.9994(4)
7	N nitrogen 14.007(4)	8	F fluorine 18.9984(4)
9	Ne neon 20.183(4)	10	
11	Na sodium 22.98976(4)	12	Mg magnesium 24.305(4)
13	Al aluminum 26.98153(4)	14	Si silicon 28.0855(4)
15	P phosphorus 30.97376(4)	16	S sulfur 32.065(4)
17	Cl chlorine 35.45(4)	18	Ar argon 39.948(4)
19	K potassium 39.0983(4)	20	Ca calcium 40.078(4)
21	Sc scandium 44.955(4)	22	Ti titanium 47.867(4)
23	V vanadium 50.944(4)	24	Cr chromium 51.996(4)
25	Mn manganese 54.938(4)	26	Fe iron 55.847(4)
27	Co cobalt 58.931(4)	28	Ni nickel 58.693(4)
29	Cu copper 63.547(4)	30	Zn zinc 65.43(4)
31	Ga gallium 69.72(4)	32	Ge germanium 72.64(4)
33	As arsenic 74.92(4)	34	Se selenium 78.96(4)
35	Br bromine 79.909(4)	36	Kr krypton 83.798(4)
37	Rb rubidium 81.907(4)	38	Sr strontium 84.78(4)
39	Zr zirconium 88.907(4)	40	Nb niobium 91.961(4)
41	Tc technetium 98(4)	42	Ru rhodium 101.09(4)
43	Rh rhodium 102.90(4)	44	Pd palladium 103.44(4)
45	Ag silver 107.87(4)	46	Cd cadmium 112.41(4)
47	Sn tin 113.46(4)	48	In indium 114.84(4)
49	Sb antimony 121.73(4)	50	Tl thallium 121.90(4)
51	Pt platinum 190.90(4)	52	Pb lead 207.2(4)
53	Hg mercury 204.59(4)	54	Xe xenon 131.36(4)
55	Cs cesium 132.91(4)	56	Ba barium 137.90(4)
57	Hf hafnium 178.49(4)	58	Ta tantalum 180.95(4)
59	W tungsten 183.84(4)	60	Rh rhodium 196.97(4)
61	Os osmium 197.96(4)	62	Pt platinum 198.96(4)
63	Ir iridium 199.97(4)	64	Au gold 196.97(4)
65	Pd palladium 197.98(4)	66	Ds darmstadtium 210(4)
67	Rg roentgenium 223(4)	68	Tm thulium 168.93(4)
69	La lanthanum 158.93(4)	70	Yb ytterbium 173.94(4)
71	Ce cerium 140.91(4)	72	Lu lutetium 174.94(4)
73	Pr praseodymium 141.98(4)	74	Er erbium 166.93(4)
75	Nd neodymium 144.96(4)	76	Hf hafnium 178.49(4)
77	Eu europium 151.96(4)	78	Ta tantalum 180.95(4)
79	Tb thulium 152.94(4)	80	Os osmium 197.96(4)
81	Dy dysprosium 162.94(4)	82	Tl thallium 121.90(4)
83	Ho holmium 164.94(4)	84	Po polonium 193(4)
85	Er erbium 166.93(4)	86	Rn radon 222(4)
87	Rf rutherfordium 261(4)	88	Ra radium 226(4)
89	Db dubnium 261(4)	90	Hs hectaneum 264(4)
91	Sg simeonsium 261(4)	92	Bk berkelium 247(4)
93	Pm promethium 147(4)	94	Cf californium 251(4)
95	Am americium 146(4)	96	Es curium 147(4)
97	Cm curium 147(4)	98	Fm fermium 252(4)
99	Am americium 146(4)	100	Md mendelevium 253(4)
101	Cf californium 251(4)	102	No neptunium 236(4)
103	Ac actinium 227(4)	104	Lr lawrencium (262)
			Notes
			- "Aluminum" and "beryllium" are commonly used alternative spellings for "aluminio" and "berilio".
			- IUPAC 2005 standard atomic weights (mean relative atomic masses) as approved at the 43rd IUPAC General Assembly in Beijing, China in August 2005 are listed with uncertainties in the last figure in parentheses [M. E. Wieser, Pure Appl. Chem., In press]. These values correspond to current best knowledge of the elements in natural terrestrial sources. For elements that have no stable or long-lived nuclides, the mass number of the nuclide with the longest confirmed half-life is listed between square brackets.
			- Elements with atomic numbers 112 and above have been reported but not fully authenticated.
			Copyright © 2006 IUPAC, the International Union of Pure and Applied Chemistry. For updates to this table, see http://www.iupac.org/reports/periodic_table/ . This version is dated 3 October 2005.

Constantes Fundamentales y Datos Generales

General Data and Fundamental Constants					
Speed of light in vacuum	c_0	299 792 458 m s ⁻¹ (defined)			
Elementary charge	e	1.602 176 023(14) × 10 ⁻¹⁹ C			
Boltzmann constant	k_{B}	1.380 650 5(24) × 10 ⁻²³ J K ⁻¹			
Planck constant	\hbar	6.626 069(3)(11) × 10 ⁻³⁴ J s			
		1.054 571 689(18) × 10 ⁻³⁴ J s			
Avogadro constant	$L_A N_A$	6.022 141 5(10) × 10 ²³ mol ⁻¹			
Gas constant	R	8.314 472(15) J K ⁻¹ mol ⁻¹			
Faraday constant	F	9.648 533 82(83) × 10 ⁴ C mol ⁻¹			
Atomic mass constant (dalton, or unified atomic mass unit, m_u)	$m_u = \text{Da} = u$	1.660 538 96(28) × 10 ⁻²⁷ kg			
Electron rest mass	m_e	9.109 382 6(16) × 10 ⁻³¹ kg			
Proton rest mass	m_p	1.672 621 7(29) × 10 ⁻²⁷ kg			
Neutron rest mass	m_n	1.674 927 2(29) × 10 ⁻²⁷ kg			
Permeability of vacuum (or magnetic constant)	μ_0	$4\pi \times 10^{-7} \text{ H m}^{-1}$ (defined)			
Permittivity of vacuum (or electric constant)	$\epsilon_0 = 1/\mu_0 c_0^2$	$8.854 187 816... \times 10^{-12} \text{ F m}^{-1}$			
Bohr magneton	$\mu_B = e \hbar / (2m_e)$	9.274 009 49(80) × 10 ⁻³⁴ J T ⁻¹			
Nuclear magneton	$\mu_N = (m_n / m_p) \mu_B$	5.050 783 43(3) × 10 ⁻³¹ J T ⁻¹			
Landsberg g-factor for free electron	g_e	2.002 319 304 371 8(75)			
Fine structure constant	$\alpha = \mu_0 e^2 \epsilon_0 / (2\hbar)$	7.297 352 568(24) × 10 ⁻³			
Second radiation constant	$c_2 = h c_0 / k$	1.438 775 2(25) × 10 ² m K			
Stefan-Boltzmann constant	$\sigma = 2\pi^5 k^4 / 15h^3 c_0^2$	5.670 400(40) × 10 ⁻⁸ W m ⁻² K ⁻⁴			
Bohr radius	$a_0 = 4\pi \epsilon_0 \hbar^2 / (m_e e^2)$	5.291 772 108(18) × 10 ⁻¹¹ m			
Hartree energy	$E_h = \hbar^2 / (m_e a_0^2)$	4.359 744 1/(75) × 10 ⁻¹⁸ J			
Rydberg constant	$R_e = E_h / (2\hbar c_0)$	1.097 373 156 852 5(73) × 10 ⁷ m ⁻¹			
Standard acceleration of free fall g_n					
9.806 65 m s ⁻² (defined)					
Gravitational constant G		6.674 20(1) × 10 ⁻¹¹ m ³ kg ⁻¹ s ⁻²			
Zero of Celsius scale		273.15 K (defined)			
Molar volume of ideal gas, $P = 1 \text{ bar}$ and $T = 273.15 \text{ K}$		22.710 981 (40) L mol ⁻¹			
Standard atmosphere		101 325 Pa (defined)			
RT at 298.15 K		2.4790 kJ mol ⁻¹			
PRESSURE CONVERSION FACTORS					
	Pa	atm	atm	Torr	
1 Pa =	1	9.869 23 × 10 ⁻⁴		7.500 62 × 10 ⁻³	
1 atm =	101 325	1		760	
1 Torr =	133.322	1.315 79 × 10 ⁻³	1		
Example of the use of this table: 1 atm = 101 325 Pa Notes: 1 mmHg = 1 Torr ; 1 bar = 10 ⁵ Pa					
ENERGY CONVERSION FACTORS					
	energy E			molar energy E_m	wavenumber φ
	J	eV	E_h	J/mol	cm ⁻¹
1 aJ	10 ⁻¹⁸	6.241 509	0.229 3713	602 2142	50 341.17
1 eV	1.602 177 × 10 ⁻¹⁹	1	3.674 822 × 10 ⁻²	96 405.34	8 085.544
1 E _h	4.359 744 × 10 ⁻¹⁸	27.211 38	1	2625.500	219 474.6
1 kJ/mol	1.660 539 × 10 ⁻²¹	1.036 427 × 10 ²	3.698 799 × 10 ⁻⁴	1	83 593.47
1 cm ⁴	1.986 446 × 10 ⁻²⁰	1.238 842 × 10 ⁻⁴	4.556 335 × 10 ⁻⁶	11 962 66 × 10 ⁻³	1
Example of the use of this table: 1 eV corresponds to 1 nm ⁻¹ Notes: 1 cal = 4.184 J					
Source: The National Institute of Standards and Technology (NIST) reference on Constants, Units, and Uncertainties (2002 values) < http://physics.nist.gov/cuu/Constants.html >					

Ajuste por Mínimos Cuadrados

Dado un conjunto de datos que se alinean gráficamente puede encontrarse la mejor recta aplicando Mínimos Cuadrados. Sea la recta $y = m x + b$, la pendiente “ m ” y la ordenada al origen “ b ” pueden ser determinadas por las siguientes fórmulas.

$$m = \frac{N \sum xy - \sum x \sum y}{N \sum x^2 - (\sum x)^2}$$

$$b = [\sum y - \sum x^2 \cdot \sum x \cdot \sum y] / [N \sum x^2 - (\sum x)^2]$$

$$\sigma_x = \left[\frac{\sum x^2 - \frac{(\sum x)^2}{N}}{N-1} \right]^{1/2}$$

$$\sigma_y = \left[\frac{\sum y^2 - \frac{(\sum y)^2}{N}}{N-1} \right]^{1/2}$$

siendo el coeficiente de regresión R : $R = \frac{m \cdot \sigma_x}{\sigma_y}$ el cual refleja cuan bueno es el ajuste ($R \rightarrow 1$).

Las calculadoras científicas permiten el análisis de regresión lineal de una serie de datos. Sugerimos leer el manual de instrucción de la calculadora para conocer la secuencia para realizar el ajuste por mínimos cuadrados.

Así mismo los programas de computación como Excel, Origin permiten realizar el ajuste y mostrar los datos en una gráfica. Promovemos el aprendizaje de estas herramientas informáticas para el tratamiento de datos tanto de problemas numéricos como de valores experimentales.

Tablas de Conversiones y Equivalencias de Unidades

Equivalecias de capacidades y volúmenes

Pulg. ³	Pie ³	Yarda ³	Onzas flúidas de U. S.	Cuartos (qt) de U. S.		Galones de U. S.	Bushels de U. S.	Litros	cm ³	m ³
				Líquidos	Aridos					
1	0.05787	0.02143	0.5541	0.01732	0.01488	0.04329	0.04650	0.01639	16.39	1.639 × 10 ⁻⁵
1728	1	0.03704	957.5	29.92	25.71	7.481	202.0	28.32	28 320	0.02832
46 656	27	1	25 853	807.9	0.03125	0.02686	0.007812	764.559	764.559	0.7646
1.805	0.001044	0.03868	1	1	0.8394	0.25	0.038392	29.57	29.57	2.957 × 10 ⁻⁵
57.75	0.03342	0.001238	32	1.164	1	0.2909	0.03125	0.9463	946.3	9.463 × 10 ⁻⁴
67.20	0.03889	0.00144	37.24	4	3.437	1	0.1074	1.101	1 101	11.01 × 10 ⁻⁴
231	0.034951	0.004951	128	1.192	32	3.785	3.785	3.785	3.785	3.785 × 10 ⁻⁴
2 150.42	1.244	0.04609	1 192	1.057	..	1	35.24	35.238	35.238	3.524 × 10 ⁻²
61.03	0.05531	0.001368	33.81	..	0.9081	0.2642	0.02938	1	1 000	1 000 × 10 ⁻³

Equivalecias de densidades

g por cm ³	Kg por m ³	Lb. por pulg. ³	Lb. por pie ³	Lb. por yarda ³		Lb. por galón de U. S.	Tons (2 000 lb.) por yarda ³	Tons (240 lb.) por yarda ³	Toneladas métricas por m ³
				Lb.	por pie ³				
1	1 000	0.03613	62.43	1 686	8.345	231	0.8428	0.7525	1.0000
0.001	27 680	0.0003613	1 728	46 636	231	0.008345	0.8428 × 10 ⁻³	0.7525 × 10 ⁻³	0.001
0.001602	16.02	0.0005787	27	1	0.1337	0.01350	23.33	20.83	27.68
0.005933	0.59327	0.00002143	0.03704	1	0.004951	0.0005	0.012054	0.012054	0.01602
0.1198	119.8	0.004329	7.481	202.0	1	0.1010	0.09017	0.09017	0.005933
1.187	1 187	0.04287	74.07	2 000	9.902	1	0.8929	0.8929	0.1198
1.329	1 329	0.0401	82.96	2 240	11.09	1	1	1	1.187

Equivalecias de masas

Kg	Gramos	Oncas			Libras	Avoir.	Troy y apoth.	Avoir.	Corta	Larga	Toneladas	Toneladas	Gramos	
		Troy y apoth.	Avoir.	Oncas										
1	15 432	32.15	35.27	2.6792	2.205	0.001102	0.03842	0.001	1 000.0	1 000.0	1 000.0	1 000.0	1 000.0	1 000.0
0.046480	1	0.002083	0.002286	0.000174	0.0001429	0.0001102	0.03778	0.001	0.6480	0.6480	0.6480	0.6480	0.6480	0.6480
0.03110	480	1	1.09714	0.08333	0.06557	0.0429	0.03378	0.001	0.3110	0.3110	0.3110	0.3110	0.3110	0.3110
0.02835	437.5	0.9115	1	0.07595	0.0625	0.03229	0.03229	0.001	0.2835	0.2835	0.2835	0.2835	0.2835	0.2835
0.3732	5 760	12	13.17	1	0.8229	0.4114	0.3673	0.0005	0.3732	0.3732	0.3732	0.3732	0.3732	0.3732
0.4536	7 000	14.58	16	1.215	1	0.0005	0.34464	0.0005	0.4536	0.4536	0.4536	0.4536	0.4536	0.4536
907.2	140.6	29 167	32 000	2 431	2 000	0.8929	0.8929	1	1 167	1 167	1 167	1 167	1 167	1 167
1 016	15 680 000	32 667	35 840	2 722	2 240	1.12	1.12	1	1 016	1 016	1 016	1 016	1 016	1 016
1 000	15 432 356	32 151	35 274	2 679	2 205	1.102	0.9842	0.00220	0.051102	0.051102	0.051102	0.051102	0.051102	0.051102
0.001	15 432	15.432	0.03215	0.03527	0.00268	0.00268	0.0384	0.001	1	1	1	1	1	1

* Dr. Lewis V. Judson, del National Bureau of Standards.

Equivalecias de pesos y masas por unidad de longitud
Para alambres, tubos, cables, etc.

Gramos por cm	Kg por Km	Kg por m	Kg por pulg	Granos por pulg	Lb. por pie	Lb. por yarda	Lb. por milla
1	100	0.1	39.1983	0.067197	0.201591	354.80	3.54800
0.01	1	0.001	391.983	0.00067197	0.00201591	3 548.00	3 548.00
10	1 000	1	391.983	0.67197	2.01591	9.0514	9.0514
0.025511	2.5511	0.0025511	583.333	0.00171429	0.00514286	5 280	5 280
14.8816	1488.16	1.48816	194.444	1	1	1 760	1 760
4.96054	496.054	0.49605	0.49605	0.33333			
0.0028185	0.28185	0.00028185	0.11048	0.00018939	0.00056818	1	1

Equivalecias de medidas lineales

Kilómetro (Km)	Metro (m)	Centí- metro (cm)	Milímetro (mm)	Pulgada (pulg. o in.)	Pie (ft.)	Yarda (yd.)	Micrón (μ)	Milimi- crón (μ)	Toesa (rod)	Cadenas (chains)	Millas (miles)	Millas náuticas
1	1 000	10 ⁵	1 000	39.370	3 280.83	1 093.61	10 ⁹	10 ¹²	49.710	0.62137	0.5396	
0.001	1	100	1	39.37	3 280.83	1 093.61	10 ⁶	10 ⁹	0.19884	0.049710	0.0006214	0.0005396
10 ⁻⁵	0.01	0.01	10	0.3937	0.032808	0.010936	10 ⁴	10 ⁷	0.0019884	0.0004971	0.000062	0.000054
10 ⁻⁶	0.001	0.001	0.1	0.03937	0.0032808	0.0010936	10 ³	10 ⁶	0.000497	0.000062	0.0000062	0.0000054
2.54 \times 10 ⁻⁵	0.0254	0.0254	1	0.08333	0.02778	0.02778	25.400	2.54 \times 10 ⁷	0.00505	0.0012626	0.0000158	0.0000137
3.048 \times 10 ⁻⁴	0.30480	0.30480	25.400	12	0.33333	0.33333	3.048 \times 10 ⁸	0.066	0.015152	0.0018939	0.00016447	0.00016447
9.144 \times 10 ⁻⁴	91.440	91.440	30.480	36	1	914.402	9.144 \times 10 ⁸	0.1818	0.045455	0.0005682	0.0004934	
10 ⁻⁹	10 ⁻⁶	10 ⁻⁴	10 ⁻³	3.937 \times 10 ⁻⁵	3.2808 \times 10 ⁻⁶	1	10 ³	1				
10 ⁻¹²	10 ⁻⁹	10 ⁻⁷	10 ⁻⁶	3.937 \times 10 ⁻⁸	3.2808 \times 10 ⁻⁹	1	10 ⁻³	1				

Equivalecias de áreas

m ²	Pulg. ²	Pie ²	Yd. ²	Rods. ²	Cadenas ²	Acres	Millas ² o secciones	cm ²	mm ²
1	1 550	10.76	1.196	0.0395	0.002471	0.000003861	10 000	10 ⁶	10 ⁶
0.0006452	1	0.006944	0.000716	0.0002551	0.000001594	0.000002471	6.452	645.2	
0.09290	144	1	0.1111	0.003673	0.00001594	0.000002551	929.0	929.0	
0.8361	1	296	9	0.03306	0.0002296	0.000003673	8	8	
25.29	39.204	272.25	30.25	1	0.002066	0.000002296	361	361	
404.7	627.264	4 356	484	16	0.0625	0.00002066	252.930	252.930	25.29 \times 10 ⁸
4 047	6 272.640	43 560	4 840	160	1	0.001562	4 046.973	4 046.973	404.7 \times 10 ⁸
2 589.998	27 878.400	3 097.600	102 400	10	1	40 468.726	40 468.726	4 047 \times 10 ⁸
					6 400	1	25.9	25.9	25.9 \times 10 ⁸

Equivalentias de calor, energía o trabajo †

Julios = 10 ⁷ ergios	K.gram	Lb.-pie	Kw.-hr.	Hr.-hr.	Litros-atm.	Cal.†	B.t.u.	cal.‡
1	0.10197	0.7376	0.02773	0.03725	0.009869	0.02390	0.039478	0.2390
9,80665	1	7.233	0.05724	0.05633	0.09678	0.002344	0.009296	2,3438
1,356	0.1383	1	0.03766	0.0450505	0.01338	0.0324	0.001285	0,3241
3,6 × 10 ⁶	3,671 × 10 ⁵	2,655 × 10 ⁶	1	1.341	35 534.3	3 412.76	860 565	
2,6845 × 10 ⁶	2,7375 × 10 ⁵	1.98 × 10 ⁶	0.7455	1	26 494	2 545	641 615	
101,33	10,333	74.73	0.02815	0.03774	1	0.02422	3,9657	24,218
4,184	426,7	3 086	0.001162	0.001558	10,41	1	1 000	
1 055	107,58	778,16	0.082930	0.043930	0.04129	0.001	252	
	0,4267	3,086	0.041162	0.01558				1

1 term = 100 000 B.t.u. = 25 200 Cal.

Equivalentias de presiones †

Megabarios o megadinas por cm ²	Kg por cm ²	Lb. por pulg. ²	Toneladas cortas por pie ²	Atm.	Columnas de mercurio a 0° C.		Columnas de agua a 15° C.		Lb. por pie ²	Kg por m ²	mm de mercurio
					m	Pulg.	m	Pulg.			
1	1,0197	14.50	1.044	0.9869	0.7500	29.53	10.21	401.8	33.48	2 088.55	10 197
0.9807	1	14.22	1.024	0.9678	0.7355	28.96	10.01	394.50	32.84	2 048.16	10 000
0.06895	0.07031	1	0.072	0.06804	0.05171	2.036	0.7037	27.70	2.309	144	703.1
0.9576	0.9765	13.89	1	0.9450	0.7182	28.28	9.773	384.8	32.06	2 000	9 765
1,0133	1,0332	14.696	1.058	1	0.76	29.92	10.34	407.14	2 116.2	10 333	718.26
1,3323	1,3596	19.34	1.392	1	39.37	13.61	0.3456	535.7	44.64	2 784.50	1 760
0.03386	0.03453	0.4912	0.03536	0.03342	1	2.893	13.61	1.134	13.596	1 000	25,400
0.09798	0.09991	1.421	0.1023	0.0967	0.02540	1	3.281	204.633	999.1	5,19768	73,4898
0.002489	0.002338	0.0361	0.002599	0.001867	0.0224	0.02540	1	0.08333	25.38	1,867	
0.02986	0.03045	0.4332	0.03119	0.02947	0.0819	0.03048	12	1	62,3722	304.5	22,3997

1 g por cm² = 980,655 dinas por cm² = 0.45762 poundal por pulg.²

1 dina por cm² = 0.001019716 g por cm² = 0.000466642 poundal por pulg.²

1 poundal por pulg.² = 2,142.97 dinas por cm² = 0.031081 lb. por pulg.²

† La caloría termoquímica (caloría pequeña o caloría grano) se define por 4,1840 julios absolutos y su abreviatura es cal.; la caloría grande o kilo-caloría es 1 000 veces la pequeña y se representa por Kcal. y a veces por Cal.

Equivalencias de potencia ‡

hp. ingresos (350 lb. pie por seg.)	HP métrico (o C. V.)	K _w (1,000 julios por seg.)	K _{gm} por seg.	Lb.-pic por seg.	Cal.† por seg.	B.t.u. por seg.	cal.† por seg.
1	1.0138	0.7457	76.04	550	0.1782	0.7068	178.23
0.9863	1	0.7355	75	542.5	0.1758	0.6971	175.79
1.341	1.3596	1	101.97	737.56	0.2390	0.9478	239.01
0.01315	0.01333	0.009807	1	7.233	0.00234	0.009295	2.3438
0.001818	0.001843	0.001356	0.1383	1	0.000324	0.001235	0.3240
5.611	5.689	4.1840	426.7	3.086	1	3.966	1.000
1.415	1.434	1.055	107.58	778.16	0.2522	252.16	
0.000611	0.0005689	0.004184	0.4267	3.086	0.001	0.0397	1

1 boiler hp. (caballo de caldera) = 33 475 B.t.u. por hr. = 8 435.4 Cal. por hr.;

1 ton refrigeration, intensidad de refrigeración necesaria para hacer 1 tonelada corta (2,000 lb.) de hielo en 1 día = 200 B.t.u. por min. = 50.4 Cal. o frigorías por min.

Equivalencias de velocidades

cm por seg.	m por seg.	m por min.	K _m por hr.	Pies por seg.	Pies por min.	Millas por hr.	Nudos (millas náuticas por hr.)
1	0.01	0.6	0.036	0.03281	1.9685	0.02237	0.01943
	100	1	1.6667	3.281	136.35	2.237	1.943
			0.01667	1	0.06	0.03728	0.03238
			0.01667	1	0.0547	3.281	0.53960
			0.01667	1	0.9113	54.68	0.6214
			0.01667	1	1.097	60	0.6818
			0.01667	1	0.01667	1	0.59209
			0.01667	1	0.1609	88	0.00987
			0.01667	1	1.467	1	0.01136
			0.01667	1	1.609	1	0.86839
			0.01667	1	1.6889	101.337	1.15155
			0.01667	1	1.8532	1.8532	1
			0.01667	1	30.887	30.887	
			0.01667	1	51.48	0.5148	

Equivalencias de flujos caloríficos ‡

Cal.† por seg. por cm ²	Cal.† por hr. por cm ² ‡	Cal.† por hr. por cm ²	B.t.u. por hr. por pie ²	B.t.u. por hr. por pie ²	B.t.u. por dia por pie ²	Vatios por cm ²
1	0.0002778	3 600	1	13 263	3 684	318 322
			0.2714	1	0.04167	88.42
			0.01131	860.6	3 171	24
			0.01131	860.6	3 171	1
			0.0000754	69.624	1	4.183
			0.00000314	16.643	0.04167	0.0003154
			0.00000314	19.34	76.094	0.00001314
			0.00000601	24.0	1	1

Equivalencias de conductividades térmicas ‡

Círculo	Grados sexagesimales	Grados centesimales	Minutos	Segundos	Radianes	Cal.† por seg. por cm ²	Vatios internacionales por cm ²	Cal. por cm ² por °C.	B.t.u. por hr. por cm ²	B.t.u. por hr. por pulg. por °F.
1	360	400	1.11111	21 600	1.296 000	6.283185				
			60	3 600	0.017453					
0.00278	1	0.9000	1	54	3 240	0.015708				
0.0025	0.000463	0.01667	0.01952	1	60	0.0002909				
			0.00028	0.00031	1	0.0000048481				
			0.159155	57.2958	206 265	1				
				3 437.75	63.662					

† 1 caloría termoquímica o caloría pequeña (cal.) se define por 4.1840 julios absolutos.

‡ Dr. Lewis V. Judson y Carl S. Cragoe, del National Bureau of Standards.

Tablas de Datos

Tabla 1. Segundo coeficiente del virial $B / \text{cm}^3 \text{ mol}^{-1}$

	100 K	273 K	373 K	600 K
Aire	-167.3	-13.5	3.4	19.0
Ar	-187.0	-21.7	-4.2	11.9
CH ₄		-53.6	-21.2	8.1
CO ₂		-142	-72.2	-12.4
H ₂	-2.0	13.7	15.6	
He	11.4	12.0	11.3	10.4
Kr		-62.9	-28.7	1.7
N ₂	-160.0	-10.5	6.2	21.7
Ne	-6.0	10.4	12.3	13.8
O ₂	-197.5	-22.0	-3.7	12.9
Xe		-153.7	-81.7	-19.6

Ref. P. Atkins y J. de Paula, *Química Física*, Ed. Médica Panamericana, Argentina, 2008.

Tabla 2. Constantes críticas de los gases

	Masa molar	ω	T_c/K	P_c/bar	Z_c	$V_c \text{ cm}^3 \text{ mol}^{-1}$	T_n/K
Metano	16.043	0.012	190.6	45.99	0.286	98.6	111.4
Etano	30.070	0.100	305.3	48.72	0.279	145.5	184.6
Propano	44.097	0.152	369.8	42.48	0.276	200.0	231.1
<i>n</i> -Butano	58.123	0.200	425.1	37.96	0.274	255.	272.7
<i>n</i> -Pentano	72.150	0.252	469.7	33.70	0.270	313.	309.2
<i>n</i> -Hexano	86.177	0.301	507.6	30.25	0.266	371.	341.9
<i>n</i> -Heptano	100.204	0.350	540.2	27.40	0.261	428.	371.6
<i>n</i> -Octano	114.231	0.400	568.7	24.90	0.256	486.	398.8
<i>n</i> -Nonano	128.258	0.444	594.6	22.90	0.252	544.	424.0
<i>n</i> -Decano	142.285	0.492	617.7	21.10	0.247	600.	447.3
Isobutano	58.123	0.181	408.1	36.48	0.282	262.7	261.4
Isooctano	114.231	0.302	544.0	25.68	0.266	468.	372.4
Ciclopentano	70.134	0.196	511.8	45.02	0.273	258.	322.4
Ciclohexano	84.161	0.210	553.6	40.73	0.273	308.	353.9
Metilciclopentano	84.161	0.230	532.8	37.85	0.272	319.	345.0
Metilciclohexano	98.188	0.235	572.2	34.71	0.269	368.	374.1
Etileno	28.054	0.087	282.3	50.40	0.281	131.	169.4
Propileno	42.081	0.140	365.6	46.65	0.289	188.4	225.5
1-Buteno	56.108	0.191	420.0	40.43	0.277	239.3	266.9
<i>cis</i> -2-Buteno	56.108	0.205	435.6	42.43	0.273	233.8	276.9
<i>trans</i> -2-Buteno	56.108	0.218	428.6	41.00	0.275	237.7	274.0
1-Hexeno	84.161	0.280	504.0	31.40	0.265	354.	336.3
Isobutileno	56.108	0.194	417.9	40.00	0.275	238.9	266.3
1,3-Butadieno	54.092	0.190	425.2	42.77	0.267	220.4	268.7
Ciclohexeno	82.145	0.212	560.4	43.50	0.272	291.	356.1
Acetileno	26.038	0.187	308.3	61.39	0.271	113.	189.4
Benceno	78.114	0.210	562.2	48.98	0.271	259.	353.2
Tolueno	92.141	0.262	591.8	41.06	0.264	316.	383.8
Etilbenceno	106.167	0.303	617.2	36.06	0.263	374.	409.4
Cumeno	120.194	0.326	631.1	32.09	0.261	427.	425.6
<i>o</i> -Xileno	106.167	0.310	630.3	37.34	0.263	369.	417.6
<i>m</i> -Xileno	106.167	0.326	617.1	35.36	0.259	376.	412.3
<i>p</i> -Xileno	106.167	0.322	616.2	35.11	0.260	379.	411.5
Estireno	104.152	0.297	636.0	38.40	0.256	352.	418.3
Naftaleno	128.174	0.302	748.4	40.51	0.269	413.	491.2
Bifenilo	154.211	0.365	789.3	38.50	0.295	502.	528.2

	Masa molar	ω	T_c/K	P_c/bar	Z_c	V_c $\text{cm}^3 \text{mol}^{-1}$	T_n/K
Formaldehido	30.026	0.282	408.0	65.90	0.223	115.	254.1
Acetaldehido	44.053	0.291	466.0	55.50	0.221	154.	294.0
Acetato de metilo	74.079	0.331	506.6	47.50	0.257	228.	330.1
Acetato de etilo	88.106	0.366	523.3	38.80	0.255	286.	350.2
Acetona	58.080	0.307	508.2	47.01	0.233	209.	329.4
Metil etil cetona	72.107	0.323	535.5	41.50	0.249	267.	352.8
Éter dietílico	74.123	0.281	466.7	36.40	0.263	280.	307.6
Éter metil <i>t</i> -butílico	88.150	0.266	497.1	34.30	0.273	329.	328.4
Metanol	32.042	0.564	512.6	80.97	0.224	118.	337.9
Etanol	46.069	0.645	513.9	61.48	0.240	167.	351.4
1-Propanol	60.096	0.622	536.8	51.75	0.254	219.	370.4
1-Butanol	74.123	0.594	563.1	44.23	0.260	275.	390.8
1-Hexanol	102.177	0.579	611.4	35.10	0.263	381.	430.6
2-Propanol	60.096	0.668	508.3	47.62	0.248	220.	355.4
Fenol	94.113	0.444	694.3	61.30	0.243	229.	455.0
Etilenglicol	62.068	0.487	719.7	77.00	0.246	191.0	470.5
Ácido acético	60.053	0.467	592.0	57.86	0.211	179.7	391.1
Ácido <i>n</i> -Butírico	88.106	0.681	615.7	40.64	0.232	291.7	436.4
Ácido benzoico	122.123	0.603	751.0	44.70	0.246	344.	522.4
Acetonitrilo	41.053	0.338	545.5	48.30	0.184	173.	354.8
Metilamina	31.057	0.281	430.1	74.60	0.321	154.	266.8
Etilamina	45.084	0.285	456.2	56.20	0.307	207.	289.7
Nitrometano	61.040	0.348	588.2	63.10	0.223	173.	374.4
Tetracloruro de carbono	153.822	0.193	556.4	45.60	0.272	276.	349.8
Cloroformo	119.377	0.222	536.4	54.72	0.293	239.	334.3
Diclorometano	84.932	0.199	510.0	60.80	0.265	185.	312.9
Cloruro de metilo	50.488	0.153	416.3	66.80	0.276	143.	249.1
Cloruro de etilo	64.514	0.190	460.4	52.70	0.275	200.	285.4
Clorobenceno	112.558	0.250	632.4	45.20	0.265	308.	404.9
Tetrafluoroetano	102.030	0.327	374.2	40.60	0.258	198.0	247.1
Argón	39.948	0.000	150.9	48.98	0.291	74.6	87.3
Kriptón	83.800	0.000	209.4	55.02	0.288	91.2	119.8
Xenón	131.30	0.000	289.7	58.40	0.286	118.0	165.0
Helio 4	4.003	-0.390	5.2	2.28	0.302	57.3	4.2
Hidrógeno	2.016	-0.216	33.19	13.13	0.305	64.1	20.4
Oxígeno	31.999	0.022	154.6	50.43	0.288	73.4	90.2
Nitrógeno	28.014	0.038	126.2	34.00	0.289	89.2	77.3
Aire†	28.851	0.035	132.2	37.45	0.289	84.8	
Cloro	70.905	0.069	417.2	77.10	0.265	124.	239.1
Monóxido de carbono	28.010	0.048	132.9	34.99	0.299	93.4	81.7
Dióxido de carbono	44.010	0.224	304.2	73.83	0.274	94.0	
Disulfuro de carbono	76.143	0.111	552.0	79.00	0.275	160.	319.4
Sulfuro de hidrógeno	34.082	0.094	373.5	89.63	0.284	98.5	212.8
Dióxido de azufre	64.065	0.245	430.8	78.84	0.269	122.	263.1
Trióxido de azufre	80.064	0.424	490.9	82.10	0.255	127.	317.9
Óxido nítrico (NO)	30.006	0.583	180.2	64.80	0.251	58.0	121.4
Óxido nitroso (N ₂ O)	44.013	0.141	309.6	72.45	0.274	97.4	184.7
Cloruro de hidrógeno	36.461	0.132	324.7	83.10	0.249	81.	188.2
Cianuro de hidrógeno	27.026	0.410	456.7	53.90	0.197	139.	298.9
Agua	18.015	0.345	647.1	220.55	0.229	55.9	373.2
Amoniaco	17.031	0.253	405.7	112.80	0.242	72.5	239.7
Ácido nítrico	63.013	0.714	520.0	68.90	0.231	145.	356.2
Ácido sulfúrico	98.080	...	924.0	64.00	0.147	177.	610.0

† Seudoparámetros para $y_{N_2} = 0.79$ y $y_{O_2} = 0.21$. Vea las ecuaciones (6.97)-(6.99)

Ref. J. M. Smith, H .C. Van Ness y M. M. Abbott, Introducción a la Termodinámica en Ingeniería Química, Ed. Mc Graw Hill Interamericana, Méjico, 2007.

Tabla 3. Coeficientes de Van der Waals

	$a/(atm\ dm^6\ mol^{-2})$	$b/(10^{-2}\ dm^3\ mol^{-1})$		$a/(atm\ dm^6\ mol^{-2})$	$b/(10^{-2}\ dm^3\ mol^{-1})$
Ar	1,337	3,20	H ₂ S	4,484	4,34
C ₂ H ₄	4,552	5,82	He	0,0341	2,38
C ₂ H ₆	5,507	6,51	Kr	5,125	1,06
C ₆ H ₆	18,57	11,93	N ₂	1,352	3,87
CH ₄	2,273	4,31	Ne	0,205	1,67
Cl ₂	6,260	5,42	NH ₃	4,169	3,71
CO	1,453	3,95	O ₂	1,364	3,19
CO ₂	3,610	4,29	SO ₂	6,775	5,68
H ₂	0,2420	2,65	Xe	4,137	5,16
H ₂ O	5,464	3,05			

Ref. P. Atkins y J. de Paula, *Química Física*, Ed. Médica Panamericana, Argentina, 2008.

Tabla 4. Entalpías de enlace promedio ΔH° (A-B) / kJ mol⁻¹

	H	C	N	O	F	Cl	Br	I	S	P	Si
H	436										
C	412	348(i) 612(ii) 838(iii) 518(a)									
N	388	305(i) 613(ii) 890(iii)	163(i) 409(ii) 946(iii)								
O	463	360(i) 743(ii)	157	146(i) 497(ii)							
F	565	484	270	185	155						
Cl	431	338	200	203	254	242					
Br	366	276				219	193				
I	299	238				210	178	151			
S	338	259			496	250	212		264		
P	322									201	
Si	318		374	466							226

(i) Enlace simple, (ii) enlace doble, (iii) enlace triple, (a) aromático.

Datos: HCP and L. Pauling, *The nature of the chemical bond*. Cornell University Press (1960).

Ref. P. Atkins y J. de Paula, *Química Física*, Ed. Médica Panamericana, Argentina, 2008.

Tabla 5. Coeficiente de fugacidad de nitrógeno a 273 K

p/atm	ϕ	p/atm	ϕ
1	0.99955	300	1.0055
10	0.9956	400	1.062
50	0.9812	600	1.239
100	0.9703	800	1.495
150	0.9672	1000	1.839
200	0.9721		

Ref. P. Atkins y J. de Paula, *Química Física*, Ed. Médica Panamericana, Argentina, 2008.

Tabla 6. Constantes de la ecuación de Antoine para las presiones de vapor de especies puras

Nombre	Fórmula	Parámetros de la ecuación de Antoine			Intervalo de temperatura °C	ΔH_n kJ/mol	t_n °C
		A [†]	B	C			
Acetona	C ₃ H ₆ O	14.3145	2756.22	228.060	-26 — 77	29.10	56.2
Ácido acético	C ₂ H ₄ O ₂	15.0717	3580.80	224.650	24 — 142	23.70	117.9
Acetonitrilo*	C ₂ H ₃ N	14.8950	3413.10	250.523	-27 — 81	30.19	81.6
Benceno	C ₆ H ₆	13.7819	2726.81	217.572	6 — 104	30.72	80.0
<i>iso</i> -Butano	C ₄ H ₁₀	13.8254	2181.79	248.870	-83 — 7	21.30	-11.9
<i>n</i> -Butano	C ₄ H ₁₀	13.6608	2154.70	238.789	-73 — 19	22.44	-0.5
1-Butanol	C ₄ H ₁₀ O	15.3144	3212.43	182.739	37 — 138	43.29	117.6
2- Butanol*	C ₄ H ₁₀ O	15.1989	3026.03	186.500	25 — 120	40.75	99.5
<i>iso</i> -Butanol	C ₄ H ₁₀ O	14.6047	2740.95	166.670	30 — 128	41.82	107.8
<i>tert</i> -Butanol	C ₄ H ₁₀ O	14.8445	2658.29	177.650	10 — 101	39.07	82.3
Tetracloruro de carbono	CCl ₄	14.0572	2914.23	232.148	-14 — 101	29.82	76.6
Clorobenceno	C ₆ H ₅ Cl	13.8635	3174.78	211.700	29 — 159	35.19	131.7
1-Clorobutano	C ₄ H ₉ Cl	13.7965	2723.73	218.265	-17 — 79	30.39	78.5
Cloroformo	CHCl ₃	13.7324	2548.74	218.552	-23 — 84	29.24	61.1
Ciclohexano	C ₆ H ₁₂	13.6568	2723.44	220.618	9 — 105	29.97	80.7
Ciclopentano	C ₅ H ₁₀	13.9727	2653.90	234.510	-35 — 71	27.30	49.2
<i>n</i> -Decano	C ₁₀ H ₂₂	13.9748	3442.76	193.858	65 — 203	38.75	174.1
Diclorometano	CH ₂ Cl ₂	13.9891	2463.93	223.240	-38 — 60	28.06	39.7
Éter dietílico	C ₄ H ₁₀ O	14.0735	2511.29	231.200	-43 — 55	26.52	34.4
1,4 Dioxeno	C ₄ H ₈ O ₂	15.0967	3579.78	240.337	20 — 105	34.16	101.3
<i>n</i> -Eicosano	C ₂₀ H ₄₂	14.4575	4680.46	132.100	208 — 379	57.49	343.6
Etanol	C ₂ H ₆ O	16.8958	3795.17	230.918	3 — 96	38.56	78.2
Etilbenceno	C ₈ H ₁₀	13.9726	3259.93	212.300	33 — 163	35.57	136.2
Etilenglicol*	C ₂ H ₆ O ₂	15.7567	4187.46	178.650	100 — 222	50.73	197.3
<i>n</i> -Heptano	C ₇ H ₁₆	13.8622	2910.26	216.432	4 — 123	31.77	98.4
<i>n</i> -Hexano	C ₆ H ₁₄	13.8193	2696.04	224.317	-19 — 92	28.85	68.7
Metanol	CH ₄ O	16.5785	3638.27	239.500	-11 — 83	35.21	64.7
Acetato de metilo	C ₃ H ₆ O ₂	14.2456	2662.78	219.690	-23 — 78	30.32	56.9
Metil etil cetona	C ₄ H ₈ O	14.1334	2838.24	218.690	-8 — 103	31.30	79.6
Nitrometano*	CH ₃ NO ₂	14.7513	3331.70	227.600	56 — 146	33.99	101.2
<i>n</i> -Nonano	C ₉ H ₂₀	13.9854	3311.19	202.694	46 — 178	36.91	150.8
<i>iso</i> -Octano	C ₈ H ₁₈	13.6703	2896.31	220.767	2 — 125	30.79	99.2
<i>n</i> -Octano	C ₈ H ₁₈	13.9346	3123.13	209.635	26 — 152	34.41	125.6
<i>n</i> -Pentano	C ₅ H ₁₂	13.7667	2451.88	232.014	-45 — 58	25.79	36.0
Fenol	C ₆ H ₆ O	14.4387	3507.80	175.400	80 — 208	46.18	181.8
1-Propanol	C ₃ H ₈ O	16.1154	3483.67	205.807	20 — 116	41.44	97.2
2-Propanol	C ₃ H ₈ O	16.6796	3640.20	219.610	8 — 100	39.85	82.2
Tolueno	C ₇ H ₈	13.9320	3056.96	217.625	13 — 136	33.18	110.6
Agua	H ₂ O	16.3872	3885.70	230.170	0 — 200	40.66	100.0
<i>o</i> -Xileno	C ₈ H ₁₀	14.0415	3358.79	212.041	40 — 172	36.24	144.4
<i>m</i> -Xileno	C ₈ H ₁₀	14.1387	3381.81	216.120	35 — 166	35.66	139.1
<i>p</i> -Xileno	C ₈ H ₁₀	14.0579	3331.45	214.627	35 — 166	35.67	138.3

Ref. J. M. Smith, H .C. Van Ness y M. M. Abbott, Introducción a la Termodinámica en Ingeniería Química, Cd. Mc Graw Hill Interamericana, Méjico, 2007.

Tabla 7. Entalpías de fusión y de vaporización estándar a la temperatura de transición $\Delta_{\text{tr}}H^\ominus$ / kJ mol⁻¹

	T_f /K	Fusión	T_{eb} /K	Vaporización		T_f /K	Fusión	T_{eb} /K	Vaporización
Elementos									
Ag	1234	11.30	2436	250.6	CO ₂	217.0	8.33	194.6	25.23 s
Ar	83.81	1.188	87.29	6.506	CS ₂	161.2	4.39	319.4	26.74
Br ₂	265.9	10.57	332.4	29.45	H ₂ O	273.15	6.008	373.15	40.656
Cl ₂	172.1	6.41	239.1	20.41	H ₂ S	187.6	2.377	212.8	18.67
F ₂	53.6	0.26	85.0	3.16	H ₂ SO ₄	283.5	2.56		44.016 a 298 K
H ₂	13.96	0.117	20.38	0.916	NH ₃	195.4	5.652	239.7	23.35
He	3.5	0.021	4.22	0.084					
Hg	234.3	2.292	629.7	59.30	Compuestos orgánicos				
K	336.4	2.35	1031	80.23	CH ₄	90.68	0.941	111.7	8.18
I ₂	386.8	15.52	458.4	41.80	CCl ₄	250.3	2.5	350	30.0
N ₂	63.15	0.719	77.35	5.586	C ₂ H ₆	89.85	2.86	184.6	14.7
Na	371.0	2.601	1156	98.01	C ₆ H ₆	278.61	10.59	353.2	30.8
O ₂	54.36	0.444	90.18	6.820	C ₆ H ₁₄	178	13.08	342.1	28.85
Xe	161	2.30	165	12.6	C ₁₀ H ₈	354	18.80	490.0	51.51
					CH ₃ OH	175.2	3.16	337.2	35.27
Compuestos inorgánicos									
CCl ₄	250.3	2.47	349.9	30.00	C ₂ H ₅ OH	158.7	4.60	352	43.5
									37.99 a 298 K

Ref. P. Atkins y J. de Paula, *Química Física*, Ed. Médica Panamericana, Argentina, 2008.

Tabla 8. Entropías estándar ($\Delta_{\text{tr}}S^\ominus$ / J K⁻¹ mol⁻¹) (y temperaturas) de transición de fase a 1 atm

	Fusión (a T_f)	Vaporización (a T_{eb})
Ar	14.17 (a 83.8 K)	74.53 (a 87.3 K)
Br ₂	39.76 (a 265.9 K)	88.61 (a 332.4 K)
C ₆ H ₆	38.00 (a 278.6 K)	87.19 (a 353.2 K)
CH ₃ COOH	40.4 (a 289.8 K)	61.9 (a 391.4 K)
CH ₃ OH	18.03 (a 175.2 K)	104.6 (a 337.2 K)
Cl ₂	37.22 (a 172.1 K)	85.38 (a 239.0 K)
H ₂	8.38 (a 14.0 K)	44.96 (a 20.38 K)
H ₂ O	22.00 (a 273.2 K)	109.0 (a 373.2 K)
H ₂ S	12.67 (a 187.6 K)	87.75 (a 212.0 K)
He	4.8 (a 1.8 K y 30 bar)	19.9 (a 4.22 K)
N ₂	11.39 (a 63.2 K)	75.22 (a 77.4 K)
NH ₃	28.93 (a 195.4 K)	97.41 (a 239.73 K)
O ₂	8.17 (a 54.4 K)	75.63 (a 90.2 K)

Ref. P. Atkins y J. de Paula, *Química Física*, Ed. Médica Panamericana, Argentina, 2008.

Tabla 9. Entalpías y entropías de vaporización estándar de líquidos en su punto de ebullición normal

	$\Delta_{\text{vap}}H^\ominus$ / (kJ mol ⁻¹)	θ_{eb} / °C	$\Delta_{\text{vap}}S^\ominus$ / (J K ⁻¹ mol ⁻¹)
Agua	40.7	100.0	+109.1
Benceno	30.8	80.1	+87.2
Ciclohexano	30.1	80.7	+85.1
Decano	38.75	174	+86.7
Dimetiléter	21.51	-23	+86
Disulfuro de carbono	26.74	46.25	+83.7
Etanol	38.6	78.3	+110.0
Mercurio	59.3	356.6	+94.2
Metano	8.18	-161.5	+73.2
Metanol	35.21	65.0	+104.1
Sulfuro de hidrógeno	18.7	-60.4	+87.9
Tetracloruro de carbono	30.00	76.7	+85.8

Ref. P. Atkins y J. de Paula, *Química Física*, Ed. Médica Panamericana, Argentina, 2008.

Tabla 10. Datos termodinámicos para compuestos orgánicos a 298 K

	$M/(g \text{ mol}^{-1})$	$\Delta_f H^\ominus/(kJ \text{ mol}^{-1})$	$\Delta_f G^\ominus/(kJ \text{ mol}^{-1})$	$S_m^\ominus/(J \text{ K}^{-1} \text{ mol}^{-1})$	$C_{p,m}^\ominus/(J \text{ K}^{-1} \text{ mol}^{-1})$	$\Delta_c H^\ominus/(kJ \text{ mol}^{-1})$
C (s) (grafito)	12.011	0	0	5.740	8.527	-393.51
C (s) (diamante)	12.011	+1.895	+2.900	2.377	6.113	-395.40
CO_2 (g)	44.010	-393.51	-394.36	213.74	37.11	
Hidrocarburos						
CH_4 (g), metano	16.04	-74.81	-50.72	186.26	35.31	-890
CH_3 (g), metil	15.04	+145.69	+147.92	194.2	38.70	
C_2H_2 (g), etino	26.04	+226.73	+209.20	200.94	43.93	-1300
C_2H_4 (g), eteno	28.05	+52.26	+68.15	219.56	43.56	-1411
C_2H_6 (g), etano	30.07	-84.68	-32.82	229.60	52.63	-1560
C_3H_6 (g), propeno	42.08	+20.42	+62.78	267.05	63.89	-2058
C_3H_6 (g), ciclopropano	42.08	+53.30	+104.45	237.55	55.94	-2091
C_3H_8 (g), propano	44.10	-103.85	-23.49	269.91	73.5	-2220
C_4H_8 (g), 1-buteno	56.11	-0.13	+71.39	305.71	85.65	-2717
C_4H_8 (g), <i>cis</i> -2-buteno	56.11	-6.99	+65.95	300.94	78.91	-2710
C_4H_{10} (g), <i>trans</i> -2-buteno	56.11	-11.17	+63.06	296.59	87.82	-2707
C_4H_{10} (g), butano	58.13	-126.15	-17.03	310.23	97.45	-2878
C_5H_{12} (g), pentano	72.15	-146.44	-8.20	348.40	120.2	-3537
C_5H_{12} (l)	72.15	-173.1				
C_6H_6 (l), benceno	78.12	+49.0	+124.3	173.3	136.1	-3268
C_6H_6 (g)	78.12	+82.93	+129.72	269.31	81.67	-3302
C_6H_{12} (l), ciclohexano	84.16	-156	+26.8		156.5	-3920
C_6H_{14} (l), hexano	86.18	-198.7		204.3		-4163
$\text{C}_6\text{H}_5\text{CH}_3$ (g), metil-benceno (tolueno)	92.14	+50.0	+122.0	320.7	103.6	-3953
C_7H_{16} (l), heptano	100.21	-224.4	+1.0	328.6	224.3	
C_8H_{18} (l), octano	114.23	-249.9	+6.4	361.1		-5471
C_8H_{18} (l), isoctano	114.23	-255.1				-5461
C_{10}H_8 (s), naftaleno	128.18	+78.53				-5157
Alcoholes y fenoles						
CH_3OH (l), metanol	32.04	-238.66	-166.27	126.8	81.6	-726
CH_3OH (g)	32.04	-200.66	-161.96	239.81	43.89	-764
$\text{C}_2\text{H}_5\text{OH}$ (l), etanol	46.07	-277.69	-174.78	160.7	111.46	-1368
$\text{C}_2\text{H}_5\text{OH}$ (g)	46.07	-235.10	-168.49	282.70	65.44	-1409
$\text{C}_6\text{H}_5\text{OH}$ (s), fenol	94.12	-165.0	-50.9	146.0		-3054
Ácidos carboxílicos, hidroxiácidos y ésteres						
HCOOH (l), fórmico	46.03	-424.72	-361.35	128.95	99.04	-255
CH_3COOH (l), acético	60.05	-484.5	-389.9	159.8	124.3	-875
CH_3COOH (aq)	60.05	-485.76	-396.46	178.7		
CH_3COO^- (aq)	59.05	-486.01	-369.31	86.6	-6.3	
$(\text{COOH})_2$ (s), oxálico	90.04	-827.2			117	-254
$\text{C}_6\text{H}_5\text{COOH}$ (s), benzoico	122.13	-385.1	-245.3	167.6	146.8	-3227
$\text{CH}_3\text{CH}(\text{OH})\text{COOH}$ (s), láctico	90.08	-694.0				-1344
$\text{CH}_3\text{COOC}_2\text{H}_5$ (l), acetato de etilo	88.11	-479.0	-332.7	259.4	170.1	-2231
Aldehídos y cetonas alifáticos						
HCHO (g), metanal	30.03	-108.57	-102.53	218.77	35.40	-571
CH_3CHO (l), etanal	44.05	-192.30	-128.12	160.2		-1166
CH_3CHO (g)	44.05	-166.19	-128.86	250.3	57.3	-1192
CH_3COCH_3 (l), propanona	58.08	-248.1	-155.4	200.4	124.7	-1790
Azúcares						
$\text{C}_6\text{H}_{12}\text{O}_6$ (s), α -D-glucosa	180.16	-1274				-2808
$\text{C}_6\text{H}_{12}\text{O}_6$ (s), β -D-glucosa	180.16	-1268	-910	212		-2810
$\text{C}_6\text{H}_{12}\text{O}_6$ (s), β -D-fructosa	180.16	-1266				-5645
$\text{C}_{12}\text{H}_{22}\text{O}_{11}$ (s), sacarosa	342.30	-2222	-1543	360.2		
Compuestos nitrogenados						
$\text{CO}(\text{NH}_2)_2$ (s), urea	60.06	-333.51	-197.33	104.60	93.14	-632
CH_3NH_2 (g), metilamina	31.06	-22.97	+32.16	243.41	53.1	-1085
$\text{C}_6\text{H}_5\text{NH}_2$ (l), anilina	93.13	+31.1				-3393
$\text{CH}_2(\text{NH}_2)\text{COOH}$ (s), glicina	75.07	-532.9	-373.4	103.5	99.2	-969

Ref. P. Atkins y J. de Paula, *Química Física*, Ed. Médica Panamericana, Argentina, 2008.

Tabla 11. Datos termodinámicos para compuestos inorgánicos a 298 K

	M/(g mol ⁻¹)	$\Delta_f H^\ominus/(kJ mol^{-1})$	$\Delta_f G^\ominus/(kJ mol^{-1})$	$S_m^\ominus/(J K^{-1} mol^{-1})$	$C_{P,m}^\ominus/(J K^{-1} mol^{-1})$
Aluminio					
Al (s)	26.98	0	0	28.33	24.35
Al (l)	26.98	+10.56	+7.20	39.55	24.21
Al (g)	26.98	+326.4	+285.7	164.54	21.38
Al ³⁺ (g)	26.98	+5483.17			
Al ³⁺ (aq)	26.98	-531	-485	-321.7	
Al ₂ O ₃ (s, α)	101.96	-1675.7	-1582.3	50.92	79.04
AlCl ₃ (s)	133.24	-704.2	-628.8	110.67	91.84
Argón					
Ar (g)	39.95	0	0	154.84	20.786
Antimonio					
Sb (s)	121.75	0	0	45.69	25.23
SbH ₃ (g)	124.77	+145.11	+147.75	232.78	41.05
Arsénico					
As (s, α)	74.92	0	0	35.1	24.64
As (g)	74.92	+302.5	+261.0	174.21	20.79
As ₄ (g)	299.69	+143.9	+92.4	314	
AsH ₃ (g)	77.95	+66.44	+68.93	222.78	38.07
Azufre					
S (s, α) (rómbico)	32.06	0	0	31.80	22.64
S (s, β) (monoclínico)	32.06	+0.33	+0.1	32.6	23.6
S (g)	32.06	+278.81	+238.25	167.82	23.673
S ₂ (g)	64.13	+128.37	+79.30	228.18	32.47
S ²⁻ (aq)	32.06	+33.1	+85.8	-14.6	
SO ₂ (g)	64.06	-296.83	-300.19	248.22	39.87
SO ₃ (g)	80.06	-395.72	-371.06	256.76	50.67
H ₂ SO ₄ (l)	98.08	-813.99	-690.00	156.90	138.9
Aztre (Continuación)					
H ₂ SO ₄ (aq)	98.08	-909.27	-744.53	20.1	-293
SO ₄ ²⁻ (aq)	96.06	-909.27	-744.53	20.1	-293
HSO ₄ (aq)	97.07	-887.34	-755.91	131.8	-84
H ₂ S (g)	34.08	-20.63	-33.56	205.79	34.23
H ₂ S (aq)	34.08	-39.7	-27.83	121	
HS ⁻ (aq)	33.072	-17.6	+12.08	62.08	
SF ₆ (g)	146.05	-1209	-1105.3	291.82	97.28
Bario					
Ba (s)	137.34	0	0	62.8	28.07
Ba (g)	137.34	+180	+146	170.24	20.79
Ba ²⁺ (aq)	137.34	-537.64	-560.77	9.6	
BaO (s)	153.34	-553.5	-525.1	70.43	47.78
BaCl ₂ (s)	208.25	-858.6	-810.4	123.68	75.14
Berilio					
Be (s)	9.01	0	0	9.50	16.44
Be (g)	9.01	+324.3	+286.6	136.27	20.79
Bismuto					
Bi (s)	208.98	0	0	56.74	25.52
Bi (g)	208.98	+207.1	+168.2	187.00	20.79
Bromo					
Br ₂ (l)	159.82	0	0	152.23	75.689
Br ₂ (g)	159.82	+30.907	+3.110	245.46	36.02
Br (g)	79.91	+111.88	+82.396	175.02	20.786
Br ⁻ (g)	79.91	-219.07			
Br ⁻ (aq)	79.91	-121.55	-103.96	82.4	-141.8
HBr (g)	90.92	-36.40	-53.45	198.70	29.142
Cadmio					
Cd (s, γ)	112.40	0	0	51.76	25.98
Cd (g)	112.40	+112.01	+77.41	167.75	20.79
Cd ²⁺ (aq)	112.40	-75.90	-77.612	-73.2	
CdO (s)	128.40	-258.2	-228.4	54.8	43.43
CdCO ₃ (s)	172.41	-750.6	-669.4	92.5	

	$M/(g \text{ mol}^{-1})$	$\Delta_f H^\circ/(kJ \text{ mol}^{-1})$	$\Delta_f G^\circ/(kJ \text{ mol}^{-1})$	$S_m^\circ/(J \text{ K}^{-1} \text{ mol}^{-1})$	$C_{p,m}^\circ/(J \text{ K}^{-1} \text{ mol}^{-1})$
Calcio					
Ca (s)	40.08	0	0	41.42	25.31
Ca (g)	40.08	+178.2	+144.3	154.88	20.786
Ca ²⁺ (aq)	40.08	-542.53	-553.58	-53.1	
CaO (s)	56.08	-635.09	-604.03	39.75	42.80
CaCO ₃ (s) (calcita)	100.09	-1206.9	-1128.8	92.9	81.88
CaCO ₃ (s) (aragonito)	100.09	-1207.1	-1127.8	88.7	81.25
CaF ₂ (s)	78.08	-1219.6	-1167.3	68.87	67.03
CaCl ₂ (s)	110.99	-795.8	-748.1	104.6	72.59
CaBr ₂ (s)	199.90	-682.8	-663.6	130	
Carbono (para compuestos "orgánicos", ver Tabla 2.5)					
C (s) (grafito)	12.011	0	0	5.740	8.527
C (s) (diamante)	12.011	+1.895	+2.900	2.377	6.113
C (g)	12.011	+716.68	+671.26	158.10	20.838
C ₂ (g)	24.022	+831.90	+775.89	199.42	43.21
CO (g)	28.011	-110.53	-137.17	197.67	29.14
CO ₂ (g)	44.010	-393.51	-394.36	213.74	37.11
CO ₂ (aq)	44.010	-413.80	-385.98	117.6	
H ₂ CO ₃ (aq)	62.03	-699.65	-623.08	187.4	
HCO ₃ ⁻ (aq)	61.02	-691.99	-586.77	91.2	
CO ₃ ²⁻ (aq)	60.01	-677.14	-527.81	-56.9	
CCl ₄ (l)	153.82	-135.44	-65.21	216.40	131.75
CS ₂ (l)	76.14	+89.70	+65.27	151.34	75.7
HCN (g)	27.03	+135.1	+124.7	201.78	35.86
HCN (l)	27.03	+108.87	+124.97	112.84	70.63
CN ⁻ (aq)	26.02	+150.6	+172.4	94.1	
Cesio					
Cs (s)	132.91	0	0	85.23	32.17
Cs (g)	132.91	+76.06	+49.12	175.60	20.79
Cs ⁺ (aq)	132.91	-258.28	-292.02	133.05	-10.5
Cloro					
Cl ₂ (g)	70.91	0	0	223.07	33.91
Cl (g)	35.45	+121.68	+105.68	165.20	21.840
Cl ⁻ (g)	35.45	-233.13			
Cl ⁻ (aq)	35.45	-167.16	-131.23	56.5	-136.4
HCl (g)	36.46	-92.31	-95.30	186.91	29.12
HCl (aq)	36.46	-167.16	-131.23	56.5	-136.4
Cobre					
Cu (s)	63.54	0	0	33.150	24.44
Cu (g)	63.54	+338.32	+298.58	166.38	20.79
Cu ⁺ (aq)	63.54	+71.67	+49.98	40.6	
Cu ²⁺ (aq)	63.54	+64.77	+65.49	-99.6	
Cu ₂ O (s)	143.08	-168.6	-146.0	93.14	63.64
CuO (s)	79.54	-157.3	-129.7	42.63	42.30
CuSO ₄ (s)	159.60	-771.36	-661.8	109	100.0
CuSO ₄ ·H ₂ O (s)	177.62	-1085.8	-918.11	146.0	134
CuSO ₄ ·5H ₂ O (s)	249.68	-2279.7	-1879.7	300.4	280
Cromo					
Cr (s)	52.00	0	0	23.77	23.35
Cr (g)	52.00	+396.6	+351.8	174.50	20.79
CrO ₄ ²⁻ (aq)	115.99	-881.15	-727.75	50.21	
Cr ₂ O ₇ ²⁻ (aq)	215.99	-1490.3	-1301.1	261.9	
Deuterio					
D ₂ (g)	4.028	0	0	144.96	29.20
HD (g)	3.022	+0.318	-1.464	143.80	29.196
D ₂ O (g)	20.028	-249.20	-234.54	198.34	34.27
D ₂ O (l)	20.028	-294.60	-243.44	75.94	84.35
HDO (g)	19.022	-245.30	-233.11	199.51	33.81
HDO (l)	19.022	-289.89	-241.86	79.29	

	$M/(g\ mol^{-1})$	$\Delta_f H^\circ/(kJ\ mol^{-1})$	$\Delta_f G^\circ/(kJ\ mol^{-1})$	$S_m^\circ/(J\ K^{-1}\ mol^{-1})$	$C_{p,m}^\circ/(J\ K^{-1}\ mol^{-1})$
Estaño					
Sn (s, β)	118.69	0	0	51.55	26.99
Sn (g)	118.69	+302.1	+267.3	168.49	20.26
Sn ²⁺ (aq)	118.69	-8.8	-27.2	-17	
SnO (s)	134.69	-285.8	-256.9	56.5	44.31
SnO ₂ (s)	150.69	-580.7	-519.6	52.3	52.59
Flúor					
F ₂ (g)	38.00	0	0	202.78	31.30
F (g)	19.00	+ 78.99	+61.91	158.75	22.74
F ⁻ (aq)	19.00	-332.63	-278.79	-13.8	-106.7
HF (g)	20.01	-271.1	-273.2	173.78	29.13
Fósforo					
P (s, blanco)	30.97	0	0	41.09	23.840
P (g)	30.97	+314.64	+278.25	163.19	20.786
P ₂ (g)	61.95	+144.3	+103.7	218.13	32.05
P ₄ (g)	123.90	+58.91	+24.44	279.98	67.15
PH ₃ (g)	34.00	+5.4	+13.4	210.23	37.11
PCl ₃ (g)	137.33	-287.0	-267.8	311.78	71.84
PCl ₃ (l)	137.33	-319.7	-272.3	217.1	
PCl ₅ (g)	208.24	-374.9	-305.0	364.6	112.8
PCl ₅ (s)	208.24	-443.5			
H ₃ PO ₃ (s)	82.00	-964.4			
H ₃ PO ₃ (aq)	82.00	-964.8			
H ₃ PO ₄ (s)	94.97	-1279.0	-1119.1	110.50	106.06
H ₃ PO ₄ (l)	94.97	-1266.9			
H ₃ PO ₄ (aq)	94.97	-1277.4	-1018.7	-222	
PO ₄ ³⁻ (aq)	94.97	-1277.4	-1018.7	-221.8	
P ₄ O ₁₀ (s)	283.89	-2984.0	-2697.0	228.86	211.71
P ₄ O ₆ (s)	219.89	-1640.1			
Helio					
He (g)	4.003	0	0	126.15	20.786
Hidrógeno (ver también deuterio)					
H ₂ (g)	2.016	0	0	130.684	28.824
H (g)	1.008	+217.97	+203.25	114.71	20.784
H ⁺ (aq)	1.008	0	0	0	0
H ⁺ (g)	1.008	+1536.20			
H ₂ O (l)	18.015	-285.83	-237.13	69.91	75.291
H ₂ O (g)	18.015	-241.82	-228.57	188.83	33.58
H ₂ O ₂ (l)	34.015	-187.78	-120.35	109.6	89.1
Hierro					
Fe (s)	55.85	0	0	27.28	25.10
Fe (g)	55.85	+416.3	+370.7	180.49	25.68
Fe ²⁺ (aq)	55.85	-89.1	-78.90	-137.7	
Fe ³⁺ (aq)	55.85	-48.5	-4.7	-315.9	
Fe ₃ O ₄ (s) (magnetita)	231.54	-1118.4	-1015.4	146.4	143.43
Fe ₂ O ₃ (s) (hematites)	159.69	-824.2	-742.2	87.40	103.85
FeS (s, α)	87.91	-100.0	-100.4	60.29	50.54
FeS ₂ (s)	119.98	-178.2	-166.9	52.93	62.17
Kriptón					
Kr (g)	83.80	0	0	164.08	20.786
Litio					
Li (s)	6.94	0	0	29.12	24.77
Li (g)	6.94	+159.37	+126.66	138.77	20.79
Li ⁺ (aq)	6.94	-278.49	-293.31	13.4	68.6
Magnesio					
Mg (s)	24.31	0	0	32.68	24.89
Mg (g)	24.31	+147.70	+113.10	148.65	20.786
Mg ²⁺ (aq)	24.31	-466.85	-454.8	-138.1	
MgO (s)	40.31	-601.70	-569.43	26.94	37.15
MgCO ₃ (s)	84.32	-1095.8	-1012.1	65.7	75.52
MgCl ₂ (s)	95.22	-641.32	-591.79	89.62	71.38
Mercurio					
Hg (l)	200.59	0	0	76.02	27.983
Hg (g)	200.59	+61.32	+31.82	174.96	20.786
Hg ²⁺ (aq)	200.59	+171.1	+164.40	-32.2	
Hg ₂ ²⁺ (aq)	401.18	+172.4	+153.52	84.5	
HgO (s)	216.59	-90.83	-58.54	70.29	44.06
Hg ₂ Cl ₂ (s)	472.09	-265.22	-210.75	192.5	102
HgCl ₂ (s)	271.50	-224.3	-178.6	146.0	
HgS (s, negro)	232.65	-53.6	-47.7	88.3	

	$M/(g \text{ mol}^{-1})$	$\Delta_f H^\circ/(kJ \text{ mol}^{-1})$	$\Delta_f G^\circ/(kJ \text{ mol}^{-1})$	$S_m^\circ/(J \text{ K}^{-1} \text{ mol}^{-1})$	$C_{p,m}^\circ/(J \text{ K}^{-1} \text{ mol}^{-1})$
Neón					
Ne (g)	20.18	0	0	146.33	20.786
Nitrógeno					
N_2 (g)	28.013	0	0	191.61	29.125
N (g)	14.007	+472.70	+455.56	153.30	20.786
NO (g)	30.01	+90.25	+86.55	210.76	29.844
N_2O (g)	44.01	+82.05	+104.20	219.85	38.45
NO_2 (g)	46.01	+33.18	+51.31	240.06	37.20
N_2O_4 (g)	92.01	+9.16	+97.89	304.29	77.28
N_2O_5 (s)	108.01	-43.1	+113.9	178.2	143.1
N_2O_5 (g)	108.01	+11.3	+115.1	355.7	84.5
HNO_3 (l)	63.01	-174.10	-80.71	155.60	109.87
HNO_3 (aq)	63.01	-207.36	-111.25	146.4	-86.6
NO_3^- (aq)	62.01	-205.0	-108.74	146.4	-86.6
NH_3 (g)	17.03	-46.11	-16.45	192.45	35.06
NH_3 (aq)	17.03	-80.29	-26.50	111.3	
NH_4^+ (aq)	18.04	-132.51	-79.31	113.4	
NH_4OH (s)	33.03	-114.2			
HN_3 (l)	43.03	+264.0	+327.3	140.6	43.68
HN_3 (g)	43.03	+294.1	+328.1	238.97	98.87
N_2H_4 (l)	32.05	+50.63	+149.43	121.21	139.3
NH_4NO_3 (s)	80.04	-365.56	-183.87	151.08	84.1
NH_4Cl (s)	53.49	-314.43	-202.87	94.6	
Oro					
Au (s)	196.97	0	0	47.40	25.42
Au (g)	196.97	+366.1	+362.3	180.50	20.79
Oxígeno					
O_2 (g)	31.999	0	0	205.138	29.355
O (g)	15.999	+249.17	+231.73	161.06	21.912
O_3 (g)	47.998	+142.7	+163.2	238.93	39.20
OH^- (aq)	17.007	-229.99	-157.24	-10.75	-148.5
Plata					
Ag (s)	107.87	0	0	42.55	25.351
Ag (g)	107.87	+284.55	+245.65	173.00	20.79
Ag^+ (aq)	107.87	+105.58	+77.11	72.68	21.8
$AgBr$ (s)	187.78	-100.37	-96.90	107.1	52.38
$AgCl$ (s)	143.32	-127.07	-109.79	96.2	50.79
Ag_2O (s)	231.74	-31.05	-11.20	121.3	65.86
$AgNO_3$ (s)	169.88	-129.39	-33.41	140.92	93.05
Plomo					
Pb (s)	207.19	0	0	64.81	26.44
Pb (g)	207.19	+195.0	+161.9	175.37	20.79
Pb^{2+} (aq)	207.19	-1.7	-24.43	10.5	
PbO (s, amarillo)	223.19	-217.32	-187.89	68.70	45.77
PbO (s, rojo)	223.19	-218.99	-188.93	66.5	45.81
PbO_2 (s)	239.19	-277.4	-217.33	68.6	64.64
Potasio					
K (s)	39.10	0	0	64.18	29.58
K (g)	39.10	+89.24	+60.59	160.336	20.786
K^+ (g)	39.10	+514.26			
K^+ (aq)	39.10	-252.38	-283.27	102.5	21.8
KOH (s)	56.11	-424.76	-379.08	78.9	64.9
KF (s)	58.10	-576.27	-537.75	66.57	49.04
KCl (s)	74.56	-436.75	-409.14	82.59	51.30
KBr (s)	119.01	-393.80	-380.66	95.90	52.30
KI (s)	166.01	-327.90	-324.89	106.32	52.93
Sicilio					
Si (s)	28.09	0	0	18.83	20.00
Si (g)	28.09	+455.6	+411.3	167.97	22.25
SiO_2 (s, α)	60.09	-910.94	-856.64	41.84	44.43
Sodio					
Na (s)	22.99	0	0	51.21	28.24
Na (g)	22.99	+107.32	+76.76	153.71	20.79
Na^+ (aq)	22.99	-240.12	-261.91	59.0	46.4
NaOH (s)	40.00	-425.61	-379.49	64.46	59.54
NaCl (s)	58.44	-411.15	-384.14	72.13	50.50
NaBr (s)	102.90	-361.06	-348.98	86.82	51.38
NaI (s)	149.89	-287.78	-286.06	98.53	52.09
Xenón					
Xe (g)	131.30	0	0	169.68	20.786

	$M/(g \text{ mol}^{-1})$	$\Delta_f H^\ominus/(kJ \text{ mol}^{-1})$	$\Delta_f G^\ominus/(kJ \text{ mol}^{-1})$	$S_m^\ominus/(J \text{ K}^{-1} \text{ mol}^{-1})$	$C_{p,m}^\ominus/(J \text{ K}^{-1} \text{ mol}^{-1})$
Yodo					
I ₂ (s)	253.81	0	0	116.135	54.44
I ₂ (g)	253.81	+62.44	+19.33	260.69	36.90
I (g)	126.90	+106.84	+70.25	180.79	20.786
I ⁻ (aq)	126.90	-55.19	-51.57	111.3	-142.3
HI (g)	127.91	+26.48	+1.70	206.59	29.158
Zinc					
Zn (s)	65.37	0	0	41.63	25.40
Zn (g)	65.37	+130.73	+95.14	160.98	20.79
Zn ²⁺ (aq)	65.37	-153.89	-147.06	-112.1	46
ZnO (s)	81.37	-348.28	-318.30	43.64	40.25

Ref. P. Atkins y J. de Paula, *Química Física*, Ed. Médica Panamericana, Argentina, 2008.

Tabla 12. Capacidades caloríficas de gases en el estado de gas ideal

Constantes en la ecuación $C_P^{ig}/R = A + BT + CT^2 + DT^{-2}$ T (kelvin) desde 298 hasta T_{\max}

Especies químicas		T_{\max}	$C_{P_{298}}^{ig}/R$	A	$10^3 B$	$10^6 C$	$10^{-5} D$
Parafinas:							
Metano	CH ₄	1500	4.217	1.702	9.081	-2.164	
Etano	C ₂ H ₆	1500	6.369	1.131	19.225	-5.561	
Propano	C ₃ H ₈	1500	9.011	1.213	28.785	-8.824	
<i>n</i> -Butano	C ₄ H ₁₀	1500	11.928	1.935	36.915	-11.402	
<i>iso</i> -Butano	C ₄ H ₁₀	1500	11.901	1.677	37.853	-11.945	
<i>n</i> -Pentano	C ₅ H ₁₂	1500	14.731	2.464	45.351	-14.111	
<i>n</i> -Hexano	C ₆ H ₁₄	1500	17.550	3.025	53.722	-16.791	
<i>n</i> -Heptano	C ₇ H ₁₆	1500	20.361	3.570	62.127	-19.486	
<i>n</i> -Octano	C ₈ H ₁₈	1500	23.174	4.108	70.567	-22.208	
1-Alquenos:							
Etileno	C ₂ H ₄	1500	5.325	1.424	14.394	-4.392	
Propileno	C ₃ H ₆	1500	7.792	1.637	22.706	-6.915	
1-Buteno	C ₄ H ₈	1500	10.520	1.967	31.630	-9.873	
1-Penteno	C ₅ H ₁₀	1500	13.437	2.691	39.753	-12.447	
1-Hexeno	C ₆ H ₁₂	1500	16.240	3.220	48.189	-15.157	
1-Hepteno	C ₇ H ₁₄	1500	19.053	3.768	56.588	-17.847	
1-Octeno	C ₈ H ₁₆	1500	21.868	4.324	64.960	-20.521	
Órganicos diversos:							
Acetaldehído	C ₂ H ₄ O	1000	6.506	1.693	17.978	-6.158	
Acetileno	C ₂ H ₂	1500	5.253	6.132	1.952	-1.299
Benceno	C ₆ H ₆	1500	10.259	-0.206	39.064	-13.301	
1,3-Butadieno	C ₄ H ₆	1500	10.720	2.734	26.786	-8.882	
Ciclohexano	C ₆ H ₁₂	1500	13.121	-3.876	63.249	-20.928	
Etanol	C ₂ H ₆ O	1500	8.948	3.518	20.001	-6.002	
Etilbenceno	C ₈ H ₁₀	1500	15.993	1.124	55.380	-18.476	
Óxido de etileno	C ₂ H ₄ O	1000	5.784	-0.385	23.463	-9.296	
Formaldehído	CH ₂ O	1500	4.191	2.264	7.022	-1.877	
Metanol	CH ₄ O	1500	5.547	2.211	12.216	-3.450	
Estireno	C ₈ H ₈	1500	15.534	2.050	50.192	-16.662	
Tolueno	C ₇ H ₈	1500	12.922	0.290	47.052	-15.716	
Inorgánicos diversos:							
Aire		2000	3.509	3.355	0.575	-0.016
Amoniaco	NH ₃	1800	4.269	3.578	3.020	-0.186
Bromo	Br ₂	3000	4.337	4.493	0.056	-0.154
Monóxido de carbono	CO	2500	3.507	3.376	0.557	-0.031
Dióxido de carbono	CO ₂	2000	4.467	5.457	1.045	-1.157
Disulfuro de carbono	CS ₂	1800	5.532	6.311	0.805	-0.906
Cloro	Cl ₂	3000	4.082	4.442	0.089	-0.344
Hidrógeno	H ₂	3000	3.468	3.249	0.422	0.083

Especies químicas		$T_{\text{máx}}$	$C_{P_{298}}^{ig}/R$	A	$10^3 B$	$10^6 C$	$10^{-5} D$
Sulfuro de hidrógeno	H ₂ S	2300	4.114	3.931	1.490	-0.232
Cloruro de hidrógeno	HCl	2000	3.512	3.156	0.623	0.151
Cianuro de hidrógeno	HCN	2500	4.326	4.736	1.359	-0.725
Nitrógeno	N ₂	2000	3.502	3.280	0.593	0.040
Óxido nitroso	N ₂ O	2000	4.646	5.328	1.214	-0.928
Óxido nítrico	NO	2000	3.590	3.387	0.629	0.014
Dióxido de nitrógeno	NO ₂	2000	4.447	4.982	1.195	-0.792
Tetraóxido de dinitrógeno	N ₂ O ₄	2000	9.198	11.660	2.257	-2.787
Oxígeno	O ₂	2000	3.535	3.639	0.506	-0.227
Dióxido de azufre	SO ₂	2000	4.796	5.699	0.801	-1.015
Trióxido de azufre	SO ₃	2000	6.094	8.060	1.056	-2.028
Aqua	H ₂ O	2000	4.038	3.470	1.450	0.121

[†] Seleccionadas de H. M. Spencer, *Ind. Eng. Chem.*, vol. 40, pp. 2152-2154, 1948; K. K. Kelley, *U.S. Bur. Mines Bull.*, 584, 1960; L. B. Pankratz, *U.S. Bur. Mines Bull.*, 672, 1982.

Ref. J. M. Smith, H. C. Van Ness y M. M. Abbott, Introducción a la Termodinámica en Ingeniería Química, Ed. Mc Graw Hill Interamericana, Méjico, 2007.

Tabla 13. Capacidades caloríficas de sólidos

Constantes para la ecuación $C_P/R = A + BT + DT^{-2}$
 T (kelvin) desde 298 hasta $T_{\text{máx}}$

Especies químicas	$T_{\text{máx}}$	$C_{P_{298}}/R$	A	$10^3 B$	$10^{-5} D$
CaO	2000	5.058	6.104	0.443	-1.047
CaCO ₃	1200	9.848	12.572	2.637	-3.120
Ca(OH) ₂	700	11.217	9.597	5.435	
CaC ₂	720	7.508	8.254	1.429	-1.042
CaCl ₂	1055	8.762	8.646	1.530	-0.302
C (grafito)	2000	1.026	1.771	0.771	-0.867
Cu	1357	2.959	2.677	0.815	0.035
CuO	1400	5.087	5.780	0.973	-0.874
Fe (α)	1043	3.005	-0.111	6.111	1.150
Fe ₂ O ₃	960	12.480	11.812	9.697	-1.976
Fe ₃ O ₄	850	18.138	9.594	27.112	0.409
FeS	411	6.573	2.612	13.286	
I ₂	386.8	6.929	6.481	1.502	
LiCl	800	5.778	5.257	2.476	-0.193
NH ₄ Cl	458	10.741	5.939	16.105	
Na	371	3.386	1.988	4.688	
NaCl	1073	6.111	5.526	1.963	
NaOH	566	7.177	0.121	16.316	1.948
NaHCO ₃	400	10.539	5.128	18.148	
S (rómbico)	368.3	3.748	4.114	-1.728	-0.783
SiO ₂ (cuarzo)	847	5.345	4.871	5.365	-1.001

[†] Seleccionado de K. K. Kelley, *U.S. Bur. Mines Bull.*, 584, 1960; L. B. Pankratz, *U.S. Bur. Mines Bull.*, 672, 1982.

Ref. J. M. Smith, H. C. Van Ness y M. M. Abbott, Introducción a la Termodinámica en Ingeniería Química, Ed. Mc Graw Hill Interamericana, Méjico, 2007.

Tabla 14. Capacidades caloríficas de líquidos

Constantes para la ecuación $C_p/R = A + BT + CT^2$
 T desde 273.15 hasta 373.15 K

Especies químicas	$C_{P_{298}}/R$	A	$10^3 B$	$10^6 C$
Amoniaco	9.718	22.626	-100.75	192.71
Anilina	23.070	15.819	29.03	-15.80
Benceno	16.157	-0.747	67.96	-37.78
1,3-Butadieno	14.779	22.711	-87.96	205.79
Tetracloruro de carbono	15.751	21.155	-48.28	101.14
Clorobenceno	18.240	11.278	32.86	-31.90
Cloroformo	13.806	19.215	-42.89	83.01
Ciclohexano	18.737	-9.048	141.38	-161.62
Etanol	13.444	33.866	-172.60	349.17
Óxido de etileno	10.590	21.039	-86.41	172.28
Metanol	9.798	13.431	-51.28	131.13
n-Propanol	16.921	41.653	-210.32	427.20
Trióxido de azufre	30.408	-2.930	137.08	-84.73
Tolueno	18.611	15.133	6.79	16.35
Aqua	9.069	8.712	1.25	-0.18

[†] Basado en correlaciones presentadas por J. W. Miller, Jr., G. R. Schorr y C. L. Yaws, *Chem. Eng.*, vol. 83(23), p. 129, 1976.

Ref. J. M. Smith, H .C. Van Ness y M. M. Abbott, Introducción a la Termodinámica en Ingeniería Química, Ed. Mc Graw Hill Interamericana, México, 2007.

Tabla 15. Conductividades iónicas a dilución infinita / S cm² mol⁻¹, en agua a 298 K

Catión	λ°	Anión	λ°
H ⁺	349,8	HO ⁻	199,1
Li ⁺	38,6	F ⁻	55,4
Na ⁺	50,1	Cl ⁻	76,35
K ⁺	73,5	Br ⁻	78,1
Rb ⁺	77,8	I ⁻	76,8
Cs ⁺	77,2	N ₃ ⁻	69,0
Ag ⁺	61,9	NO ₃ ⁻	71,5
Tl ⁺	74,7	ClO ₃ ⁻	64,6
NH ₄ ⁺	73,5	BrO ₃ ⁻	55,7
Be ²⁺	90,0	IO ₃ ⁻	40,5
Mg ²⁺	106,0	ClO ₄ ⁻	67,3
Ca ²⁺	119,0	IO ₄ ⁻	54,5
Sr ²⁺	118,8	ReO ₄ ⁻	54,9
Ba ²⁺	127,2	HCO ₃ ⁻	44,5
Cu ²⁺	107,2	Formiato ⁻	54,5
Zn ²⁺	105,6	Acetato ⁻	40,9
Co ²⁺	110,0	Propianato ⁻	35,8
Pb ²⁺	139,0	Butirato ⁻	32,6
La ³⁺	209,1	Benzoato ⁻	32,3
Ce ³⁺	209,4	Picrato ⁻	30,4
Eu ³⁺	203,4	SO ₄ ²⁻	160,0
Gd ³⁺	201,9	C ₂ O ₄ ²⁻	148,2
Yb ³⁺	196,8	CO ₃ ²⁻	138,6

Ref. adaptado de R. A. Robinson y R. H. Stokes, *Electrolyte Solutions*, Ed. Butterworths, Londres, 1973.

Tabla 16. Conductividades iónicas a dilución infinita /S cm² mol⁻¹, en agua a diferentes temperaturas

Ión	0 °C	5 °C	15 °C	18 °C	25 °C	35 °C	45 °C	55 °C	100 °C
H ⁺	225,0	250,1	300,6	315,0	349,8	397,0	441,4	483,1	630,0
Li ⁺	19,4	22,7	30,2	32,8	38,6	48,0	58,0	68,7	115,0
Na ⁺	26,5	30,3	39,7	42,8	50,1	61,5	73,7	86,8	145,0
K ⁺	40,7	46,7	59,6	63,9	73,5	88,2	103,4	119,2	195,0
Rb ⁺	43,9	50,1	63,4	66,5	77,8	92,9	108,5	124,2	---
Cs ⁺	44,0	50,0	63,1	67,0	77,2	92,1	107,5	123,6	---
Ag ⁺	33,1	---	---	53,5	61,9	---	---	---	175,0
NH ₄ ⁺	40,2	---	---	63,9	73,5	88,7	---	---	180,0
Mg ²⁺	57,8	---	---	89,8	106,0	---	---	---	330,0
Ca ²⁺	62,4	---	93,8	101,4	119,0	146,4	176,4	---	360,0
Sr ²⁺	62,0	---	---	101,8	118,8	---	---	---	---
Ba ²⁺	68,0	---	---	109,2	127,2	---	---	---	390,0
La ³⁺	102,0	---	---	178,5	209,1	---	---	---	645,0
HO ⁻	105,0	---	165,9	175,8	199,1	233,0	267,2	301,4	450,0
F ⁻	---	---	---	47,3	55,4	---	---	---	---
Cl ⁻	41,0	47,5	61,4	66,0	76,35	92,2	108,9	126,4	212,0
Br ⁻	42,6	49,2	63,1	68,0	78,1	94,0	110,6	127,8	---
I ⁻	41,4	48,5	62,1	66,5	76,8	92,3	108,6	125,4	---
NO ₃ ⁻	40,0	---	---	62,3	71,5	85,4	---	---	195,0
ClO ₄ ⁻	36,9	---	---	58,8	67,3	---	---	---	185,0
Acetato ⁻	20,1	---	---	35,0	40,9	---	---	---	---
SO ₄ ²⁻	82,0	---	---	136,8	160,0	---	---	---	520,0

Ref. adaptado de R. A. Robinson y R. H. Stokes, *Electrolyte Solutions*, Ed. Butterworths, Londres, 1973.

Tabla 17. Conductividad (κ) y conductividad molar (Λ) de KCl en disolución acuosa a diversas concentraciones a 298 K y 1 atm

C (mol L ⁻¹)	0,001	0,01	0,1	1
κ (S/cm)	0,000147	0,00141	0,0129	0,112
Λ (S cm ² mol ⁻¹)	147	141	129	112

Ref. I. N. Levine, *Fisicoquímica*, Vol. 2, Ed. Mc Graw Hill, España, 1995.

Tabla 18. Constantes de acidez en soluciones acuosas a 298 K, ordenados por fuerza del ácido

Ácido	HA	A ⁻	K _a	pK _a
Yodhídrico	HI	I ⁻	10 ¹¹	-11
Bromhídrico	HBr	Br ⁻	10 ⁹	-9
Clorhídrico	HCl	Cl ⁻	10 ⁷	-7
Sulfúrico	H ₂ SO ₄	HSO ₄ ⁻	10 ²	-2
Perclórico*	HClO ₄	ClO ₄ ⁻	4,0 × 10 ¹	-1,6
Ión hidronio	H ₃ O ⁺	H ₂ O	1	0,0
Oxálico	(COOH) ₂	HOOCCO ₂ ⁻	5,6 × 10 ⁻²	1,25
Sulfuroso	H ₂ SO ₃	HSO ₃ ⁻	1,4 × 10 ⁻²	1,85
Ión hidrógeno sulfato	HSO ₄ ⁻	SO ₄ ²⁻	1,0 × 10 ⁻²	1,99
Fosfórico	H ₃ PO ₄	H ₂ PO ₄ ⁻	6,9 × 10 ⁻³	2,16
Ión glicinio	⁺ NH ₃ CH ₂ COOH	NH ₂ CH ₂ COOH	4,5 × 10 ⁻³	2,35
Fluorhídrico	HF	F ⁻	6,3 × 10 ⁻⁴	3,20
Fórmico	HCOOH	HCO ₂ ⁻	1,8 × 10 ⁻⁴	3,75
Ión hidrógeno oxalato	HOOCCO ₂ ⁻	C ₂ O ₄ ²⁻	1,5 × 10 ⁻⁵	3,81
Láctico	CH ₃ CH(OH)COOH	CH ₃ CH(OH)CO ₂ ⁻	1,4 × 10 ⁻⁴	3,86
Acético (etanoico)	CH ₃ COOH	CH ₃ CO ₂ ⁻	1,4 × 10 ⁻⁵	4,76
Butanoico	CH ₃ CH ₂ CH ₂ COOH	CH ₃ CH ₂ CH ₂ CO ₂ ⁻	1,5 × 10 ⁻⁵	4,83
Propanoico	CH ₃ CH ₂ COOH	CH ₃ CH ₂ CO ₂ ⁻	1,4 × 10 ⁻⁵	4,87
Ión anilinio	C ₆ H ₅ NH ₃ ⁺	C ₆ H ₅ NH ₂	1,3 × 10 ⁻⁵	4,87
Ión piridinio	C ₅ H ₅ NH ⁺	C ₆ H ₅ N	5,9 × 10 ⁻⁶	5,23
Carbónico	H ₂ CO ₃	HCO ₃ ⁻	4,5 × 10 ⁻⁷	6,35
Sulfhidrico	H ₂ S	HS ⁻	8,9 × 10 ⁻⁸	7,05
Ión dihidrógeno fosfato	H ₂ PO ₄ ⁻	HPO ₄ ²⁻	6,2 × 10 ⁻⁸	7,21
Hipocloroso	HClO	ClO ⁻	4,0 × 10 ⁻⁸	7,40
Ión hidrazinio	NH ₂ NH ₃ ⁺	NH ₂ NH ₂	8 × 10 ⁻⁹	8,1
Hipobromoso	HBrO	BrO ⁻	2,8 × 10 ⁻⁹	8,55
Cianhídrico	HCN	CN ⁻	6,2 × 10 ⁻¹⁰	9,21
Ión amonio	NH ₄ ⁺	NH ₃	5,6 × 10 ⁻¹⁰	9,25
Bórico*	B(OH) ₃	B(OH) ₄ ⁻	5,4 × 10 ⁻¹⁰	9,27
Ión trimetilamonio	(CH ₃) ₃ NH ⁺	(CH ₃) ₃ N	1,6 × 10 ⁻¹⁰	9,80
Fenol	C ₆ H ₅ OH	C ₆ H ₅ O ⁻	1,0 × 10 ⁻¹⁰	9,99
Ión hidrógeno carbonato	HCO ₃ ⁻	CO ₃ ²⁻	4,8 × 10 ⁻¹¹	10,33
Hipoyodoso	HIO	IO ⁻	3 × 10 ⁻¹¹	10,5
Ión etilamonio	CH ₃ CH ₂ NH ₃ ⁺	CH ₃ CH ₂ NH ₂	2,2 × 10 ⁻¹¹	10,65
Ión metilamonio	CH ₃ NH ₃ ⁺	CH ₃ NH ₂	2,2 × 10 ⁻¹¹	10,66
Ión dimetilamonio	(CH ₃) ₂ NH ₂ ⁺	(CH ₃) ₂ NH	1,9 × 10 ⁻¹¹	10,73
Ión trietilamonio	(CH ₃ CH ₂) ₃ NH ⁺	(CH ₃ CH ₂) ₃ N	1,8 × 10 ⁻¹¹	10,75
Ión dietilamonio	(CH ₃ CH ₂) ₂ NH ₂ ⁺	(CH ₃ CH ₂) ₂ NH	1,4 × 10 ⁻¹¹	10,84
Ión hidrogeno arseniato	HAsO ₄ ²⁻	AsO ₄ ³⁻	5,1 × 10 ⁻¹²	11,29
Ión hidrogeno fosfato	HPO ₄ ²⁻	PO ₄ ³⁻	4,8 × 10 ⁻¹³	12,32
Ión hidrogeno sulfuro	HS ⁻	S ²⁻	1,0 × 10 ⁻¹⁹	19,00

Ref. P. Atkins y J. de Paula, *Química Física*, Ed. Médica Panamericana, Argentina, 2008.

Tabla 19. Constantes de acidez en soluciones acuosas a 298 K, en orden alfabético

Ácido	HA	A ⁻	K _a	pK _a
Acético (etanoico)	CH ₃ COOH	CH ₃ COO ⁻	1,4 × 10 ⁻⁵	4,76
Bórico*	B(OH) ₃	B(OH) ₄ ⁻	5,4 × 10 ⁻¹⁰	9,27
Bromhídrico	HBr	Br ⁻	10 ⁹	-9
Butanoico	CH ₃ CH ₂ CH ₂ COOH	CH ₃ CH ₂ CH ₂ COO ⁻	1,5 × 10 ⁻⁵	4,83
Carbónico	H ₂ CO ₃	HCO ₃ ⁻	4,5 × 10 ⁻⁷	6,35
Cianhídrico	HCN	CN ⁻	6,2 × 10 ⁻¹⁰	9,21
Clorhídrico	HCl	Cl ⁻	10 ⁷	-7
Fenol	C ₆ H ₅ OH	C ₆ H ₅ O ⁻	1,0 × 10 ⁻¹⁰	9,99
Fluorhídrico	HF	F ⁻	6,3 × 10 ⁻⁴	3,20
Fórmico	HCOOH	HCO ₂ ⁻	1,8 × 10 ⁻⁴	3,75
Fosfórico	H ₃ PO ₄	H ₂ PO ₄ ⁻	6,9 × 10 ⁻³	2,16
Hipobromoso	HBrO	BrO ⁻	2,8 × 10 ⁻⁹	8,55
Hipocloroso	HClO	ClO ⁻	4,0 × 10 ⁻⁸	7,40
Hipoyodoso	HIO	IO ⁻	3 × 10 ⁻¹¹	10,5
Ión amonio	NH ₄ ⁺	NH ₃	5,6 × 10 ⁻¹⁰	9,25
Ión anilinio	C ₆ H ₅ NH ₃ ⁺	C ₆ H ₅ NH ₂	1,3 × 10 ⁻⁵	4,87
Ión dimetilamonio	(CH ₃ CH ₂) ₂ NH ₂ ⁺	(CH ₃ CH ₂) ₂ NH	1,4 × 10 ⁻¹¹	10,84
Ión dihidrógeno fosfato	H ₂ PO ₄ ⁻	HPO ₄ ²⁻	6,2 × 10 ⁻⁸	7,21
Ión dietilamonio	(CH ₃) ₂ NH ₂ ⁺	(CH ₃) ₂ NH	1,9 × 10 ⁻¹¹	10,73
Ión etilamonio	CH ₃ CH ₂ NH ₂ ⁺	CH ₃ CH ₂ NH ₂	2,2 × 10 ⁻¹¹	10,65
Ión glicinio	*NH ₂ CH ₂ COOH	NH ₂ CH ₂ COO ⁻	4,5 × 10 ⁻³	2,35
Ión hidrazinio	NH ₂ NH ₂ ⁺	NH ₂ NH ₂	8 × 10 ⁻⁹	8,1
Ión hídrico	HI	I ⁻	10 ¹¹	-11
Ión hidrógeno arsenato	HAsO ₄ ²⁻	AsO ₄ ³⁻	5,1 × 10 ⁻¹²	11,29
Ión hidrógeno carbonato	HCO ₃ ⁻	CO ₃ ²⁻	4,8 × 10 ⁻¹¹	10,33
Ión hidrógeno oxalato	HOOC ₂ O ⁻	C ₂ O ₄ ²⁻	1,5 × 10 ⁻⁵	3,81
Ión hidrógeno fosfato	HPO ₄ ²⁻	PO ₄ ³⁻	4,8 × 10 ⁻¹³	12,32
Ión hidrógeno sulfato	HSO ₄ ⁻	SO ₄ ²⁻	1,0 × 10 ⁻²	1,99
Ión hidrógeno sulfuro	HS ⁻	S ²⁻	1,0 × 10 ⁻¹⁹	19,00
Ión hidronio	H ₃ O ⁺	H ₂ O	1	0,0
Ión metilamonio	CH ₃ NH ₂ ⁺	CH ₃ NH ₂	2,2 × 10 ⁻¹¹	10,66
Ión piridinio	C ₅ H ₅ NH ⁺	C ₅ H ₅ N	5,9 × 10 ⁻⁶	5,23
Ión trietilamonio	(CH ₃ CH ₂) ₃ NH ⁺	(CH ₃ CH ₂) ₃ N	1,8 × 10 ⁻¹¹	10,75
Ión trimetilamonio	(CH ₃) ₃ NH ⁺	(CH ₃) ₃ N	1,6 × 10 ⁻¹⁰	9,80
Láctico	CH ₃ CH(OH)COOH	CH ₃ CH(OH)COO ⁻	1,4 × 10 ⁻⁴	3,86
Oxálico	(COOH) ₂	HOOCCO ₂ ⁻	5,6 × 10 ⁻²	1,25
Perclórico*	HClO ₄	ClO ₄ ⁻	4,0 × 10 ¹	-1,6
Propanoico	CH ₃ CH ₂ COOH	CH ₃ CH ₂ COO ⁻	1,4 × 10 ⁻⁵	4,87
Sulfhídrico	H ₂ S	HS ⁻	8,9 × 10 ⁻⁸	7,05
Sulfúrico	H ₂ SO ₄	HSO ₄ ⁻	10 ²	-2
Sulfuroso	H ₂ SO ₃	HSO ₃ ⁻	1,4 × 10 ⁻²	1,85

Ref. P. Atkins y J. de Paula, *Química Física*, Cd. Médica Panamericana, Argentina, 2008.

Tabla 20. Potenciales Estándar a 298 K, en orden electroquímico

Hemirreacción de reducción	E°/V	Hemirreacción de reducción	E°/V
Oxidantes fuertes			
$\text{H}_4\text{XeO}_6 + 2\text{H}^+ + 2e^- \rightarrow \text{XeO}_3 + 3\text{H}_2\text{O}$	+3,0	$\text{Cu}^{2+} + e^- \rightarrow \text{Cu}^+$	+0,16
$\text{F}_2 + 2e^- \rightarrow 2\text{F}^-$	+2,87	$\text{Sn}^{4+} + 2e^- \rightarrow \text{Sn}^{2+}$	+0,15
$\text{O}_3 + 2\text{H}^+ + 2e^- \rightarrow \text{O}_2 + \text{H}_2\text{O}$	+2,07	$\text{AgBr} + e^- \rightarrow \text{Ag} + \text{Br}^-$	+0,07
$\text{S}_2\text{O}_8^{2-} + 2e^- \rightarrow 2\text{SO}_4^{2-}$	+2,05	$\text{Ti}^{4+} + e^- \rightarrow \text{Ti}^{3+}$	0,00
$\text{Ag}^{2+} + e^- \rightarrow \text{Ag}^+$	+1,98	$2\text{H}^+ + 2e^- \rightarrow \text{H}_2$	0, por definición
$\text{Co}^{3+} + e^- \rightarrow \text{Co}^{2+}$	+1,81	$\text{Fe}^{3+} + 3e^- \rightarrow \text{Fe}$	-0,04
$\text{H}_2\text{O}_2 + 2\text{H}^+ + 2e^- \rightarrow 2\text{H}_2\text{O}$	+1,78	$\text{O}_2 + \text{H}_2\text{O} + 2e^- \rightarrow \text{HO}_2^- + \text{OH}^-$	-0,08
$\text{Au}^+ + e^- \rightarrow \text{Au}$	+1,69	$\text{Pb}^{2+} + 2e^- \rightarrow \text{Pb}$	-0,13
$\text{Pb}^{4+} + 2e^- \rightarrow \text{Pb}^{2+}$	+1,67	$\text{In}^+ + e^- \rightarrow \text{In}$	-0,14
$2\text{HClO} + 2\text{H}^+ + 2e^- \rightarrow \text{Cl}_2 + 2\text{H}_2\text{O}$	+1,63	$\text{Sn}^{2+} + 2e^- \rightarrow \text{Sn}$	-0,14
$\text{Ce}^{4+} + e^- \rightarrow \text{Ce}^{3+}$	+1,61	$\text{AgI} + e^- \rightarrow \text{Ag} + \text{I}^-$	-0,15
$2\text{HBrO} + 2\text{H}^+ + 2e^- \rightarrow \text{Br}_2 + 2\text{H}_2\text{O}$	+1,60	$\text{Ni}^{2+} + 2e^- \rightarrow \text{Ni}$	-0,23
$\text{MnO}_4^- + 8\text{H}^+ + 5e^- \rightarrow \text{Mn}^{2+} + 4\text{H}_2\text{O}$	+1,51	$\text{Co}^{2+} + 2e^- \rightarrow \text{Co}$	-0,28
$\text{Mn}^{3+} + e^- \rightarrow \text{Mn}^{2+}$	+1,51	$\text{In}^{3+} + 3e^- \rightarrow \text{In}$	-0,34
$\text{Au}^{3+} + 3e^- \rightarrow \text{Au}$	+1,40	$\text{Ti}^+ + e^- \rightarrow \text{Ti}$	-0,34
$\text{Cl}_2 + 2e^- \rightarrow 2\text{Cl}^-$	+1,36	$\text{PbSO}_4 + 2e^- \rightarrow \text{Pb} + \text{SO}_4^{2-}$	-0,36
$\text{Cr}_2\text{O}_7^{2-} + 14\text{H}^+ + 6e^- \rightarrow 2\text{Cr}^{3+} + 7\text{H}_2\text{O}$	+1,33	$\text{Ti}^{3+} + e^- \rightarrow \text{Ti}^{2+}$	-0,37
$\text{O}_3 + \text{H}_2\text{O} + 2e^- \rightarrow \text{O}_2 + 2\text{OH}^-$	+1,24	$\text{Cd}^{2+} + 2e^- \rightarrow \text{Cd}$	-0,40
$\text{O}_2 + 4\text{H}^+ + 4e^- \rightarrow 2\text{H}_2\text{O}$	+1,23	$\text{In}^{2+} + e^- \rightarrow \text{In}^+$	-0,40
$\text{ClO}_4^- + 2\text{H}^+ + 2e^- \rightarrow \text{ClO}_3^- + \text{H}_2\text{O}$	+1,23	$\text{Cr}^{3+} + e^- \rightarrow \text{Cr}^{2+}$	-0,41
$\text{MnO}_2 + 4\text{H}^+ + 2e^- \rightarrow \text{Mn}^{2+} + 2\text{H}_2\text{O}$	+1,23	$\text{Fe}^{2+} + 2e^- \rightarrow \text{Fe}$	-0,44
$\text{Br}_2 + 2e^- \rightarrow 2\text{Br}^-$	+1,09	$\text{In}^{3+} + 2e^- \rightarrow \text{In}^+$	-0,44
$\text{Pu}^{4+} + e^- \rightarrow \text{Pu}^{3+}$	+0,97	$\text{S} + 2e^- \rightarrow \text{S}^{2-}$	-0,48
$\text{NO}_3^- + 4\text{H}^+ + 3e^- \rightarrow \text{NO} + 2\text{H}_2\text{O}$	+0,96	$\text{In}^{3+} + e^- \rightarrow \text{In}^{2+}$	-0,49
$2\text{Hg}^{2+} + 2e^- \rightarrow \text{Hg}_2^{2+}$	+0,92	$\text{U}^{4+} + e^- \rightarrow \text{U}^{3+}$	-0,61
$\text{ClO}^- + \text{H}_2\text{O} + 2e^- \rightarrow \text{Cl}^- + 2\text{OH}^-$	+0,89	$\text{Cr}^{3+} + 3e^- \rightarrow \text{Cr}$	-0,74
$\text{Hg}^{2+} + 2e^- \rightarrow \text{Hg}$	+0,86	$\text{Zn}^{2+} + 2e^- \rightarrow \text{Zn}$	-0,76
$\text{NO}_3^- + 2\text{H}^+ + e^- \rightarrow \text{NO}_2 + \text{H}_2\text{O}$	+0,80	$\text{Cd}(\text{OH})_2 + 2e^- \rightarrow \text{Cd} + 2\text{OH}^-$	-0,81
$\text{Ag}^+ + e^- \rightarrow \text{Ag}$	+0,80	$2\text{H}_2\text{O} + 2e^- \rightarrow \text{H}_2 + 2\text{OH}^-$	-0,83
$\text{Hg}_2^{2+} + 2e^- \rightarrow 2\text{Hg}$	+0,79	$\text{Cr}^{2+} + 2e^- \rightarrow \text{Cr}$	-0,91
$\text{Fe}^{3+} + e^- \rightarrow \text{Fe}^{2+}$	+0,77	$\text{Mn}^{2+} + 2e^- \rightarrow \text{Mn}$	-1,18
$\text{BrO}^- + \text{H}_2\text{O} + 2e^- \rightarrow \text{Br}^- + 2\text{OH}^-$	+0,76	$\text{V}^{2+} + 2e^- \rightarrow \text{V}$	-1,19
$\text{Hg}_2\text{SO}_4 + 2e^- \rightarrow 2\text{Hg} + \text{SO}_4^{2-}$	+0,62	$\text{Ti}^{2+} + 2e^- \rightarrow \text{Ti}$	-1,63
$\text{MnO}_4^{2-} + 2\text{H}_2\text{O} + 2e^- \rightarrow \text{MnO}_2 + 4\text{OH}^-$	+0,60	$\text{Al}^{3+} + 3e^- \rightarrow \text{Al}$	-1,66
$\text{MnO}_4^- + e^- \rightarrow \text{MnO}_4^{2-}$	+0,56	$\text{U}^{3+} + 3e^- \rightarrow \text{U}$	-1,79
$\text{I}_2 + 2e^- \rightarrow 2\text{I}^-$	+0,54	$\text{Sc}^{3+} + 3e^- \rightarrow \text{Sc}$	-2,09
$\text{Cu}^+ + e^- \rightarrow \text{Cu}$	+0,52	$\text{Mg}^{2+} + 2e^- \rightarrow \text{Mg}$	-2,36
$\text{I}_3^- + 2e^- \rightarrow 3\text{I}^-$	+0,53	$\text{Ce}^{3+} + 3e^- \rightarrow \text{Ce}$	-2,48
$\text{NiOOH} + \text{H}_2\text{O} + e^- \rightarrow \text{Ni}(\text{OH})_2 + \text{OH}^-$	+0,49	$\text{La}^{3+} + 3e^- \rightarrow \text{La}$	-2,52
$\text{Ag}_2\text{CrO}_4 + 2e^- \rightarrow 2\text{Ag} + \text{CrO}_4^{2-}$	+0,45	$\text{Na}^+ + e^- \rightarrow \text{Na}$	-2,71
$\text{O}_2 + 2\text{H}_2\text{O} + 4e^- \rightarrow 4\text{OH}^-$	+0,40	$\text{Ca}^{2+} + 2e^- \rightarrow \text{Ca}$	-2,87
$\text{ClO}_4^- + \text{H}_2\text{O} + 2e^- \rightarrow \text{ClO}_3^- + 2\text{OH}^-$	+0,36	$\text{Sr}^{2+} + 2e^- \rightarrow \text{Sr}$	-2,89
$[\text{Fe}(\text{CN})_6]^{3-} + e^- \rightarrow [\text{Fe}(\text{CN})_6]^{4-}$	+0,36	$\text{Ba}^{2+} + 2e^- \rightarrow \text{Ba}$	-2,91
$\text{Cu}^{2+} + 2e^- \rightarrow \text{Cu}$	+0,34	$\text{Ra}^{2+} + 2e^- \rightarrow \text{Ra}$	-2,92
$\text{Hg}_2\text{Cl}_2 + 2e^- \rightarrow 2\text{Hg} + 2\text{Cl}^-$	+0,27	$\text{Cs}^+ + e^- \rightarrow \text{Cs}$	-2,92
$\text{AgCl} + e^- \rightarrow \text{Ag} + \text{Cl}^-$	+0,22	$\text{Rb}^+ + e^- \rightarrow \text{Rb}$	-2,93
$\text{Bi}^{3+} + 3e^- \rightarrow \text{Bi}$	+0,20	$\text{K}^+ + e^- \rightarrow \text{K}$	-2,93
		$\text{Li}^+ + e^- \rightarrow \text{Li}$	-3,05

Ref. P. Atkins y J. de Paula, *Química Física*, Ed. Médica Panamericana, Argentina, 2008.

Tabla 21. Potenciales Estándar a 298 K, en orden alfabético

Hemirreacción de reducción	E°/V	Hemirreacción de reducción	E°/V
$\text{Ag}^+ + e^- \rightarrow \text{Ag}$	+0,80	$\text{I}_2 + 2e^- \rightarrow 2\text{I}^-$	+0,54
$\text{Ag}^{2+} + e^- \rightarrow \text{Ag}^+$	+1,98	$\text{I}_3^- + 2e^- \rightarrow 3\text{I}^-$	+0,53
$\text{AgBr} + e^- \rightarrow \text{Ag} + \text{Br}^-$	+0,0713	$\text{In}^+ + e^- \rightarrow \text{In}$	-0,14
$\text{AgCl} + e^- \rightarrow \text{Ag} + \text{Cl}^-$	+0,22	$\text{In}^{2+} + e^- \rightarrow \text{In}^+$	-0,40
$\text{Ag}_2\text{CrO}_4 + 2e^- \rightarrow 2\text{Ag} + \text{CrO}_4^{2-}$	+0,45	$\text{In}^{3+} + 2e^- \rightarrow \text{In}^+$	-0,44
$\text{AgF} + e^- \rightarrow \text{Ag} + \text{F}^-$	+0,78	$\text{In}^{3+} + 3e^- \rightarrow \text{In}$	-0,34
$\text{AgI} + e^- \rightarrow \text{Ag} + \text{I}^-$	-0,15	$\text{In}^{3+} + e^- \rightarrow \text{In}^{2+}$	-0,49
$\text{Al}^{3+} + 3e^- \rightarrow \text{Al}$	-1,66	$\text{K}^+ + e^- \rightarrow \text{K}$	-2,93
$\text{Au}^+ + e^- \rightarrow \text{Au}$	+1,69	$\text{La}^{3+} + 3e^- \rightarrow \text{La}$	-2,52
$\text{Au}^{3+} + 3e^- \rightarrow \text{Au}$	+1,40	$\text{Li}^+ + e^- \rightarrow \text{Li}$	-3,05
$\text{Ba}^{2+} + 2e^- \rightarrow \text{Ba}$	+2,91	$\text{Mg}^{2+} + 2e^- \rightarrow \text{Mg}$	-2,36
$\text{Be}^{2+} + 2e^- \rightarrow \text{Be}$	-1,85	$\text{Mn}^{2+} + 2e^- \rightarrow \text{Mn}$	-1,18
$\text{Bi}^{3+} + 3e^- \rightarrow \text{Bi}$	+0,20	$\text{Mn}^{3+} + e^- \rightarrow \text{Mn}^{2+}$	+1,51
$\text{Br}_2 + 2e^- \rightarrow 2\text{Br}^-$	+1,09	$\text{MnO}_2^- + 4\text{H}^+ + 2e^- \rightarrow \text{Mn}^{2+} + 2\text{H}_2\text{O}$	+1,23
$\text{BrO}^- + \text{H}_2\text{O} + 2e^- \rightarrow \text{Br}^- + 2\text{OH}^-$	+0,76	$\text{MnO}_4^- + 8\text{H}^+ + 5e^- \rightarrow \text{Mn}^{2+} + 4\text{H}_2\text{O}$	+1,51
$\text{Ca}^{2+} + 2e^- \rightarrow \text{Ca}$	-2,87	$\text{MnO}_4^- + e^- \rightarrow \text{MnO}_4^{2-}$	+0,56
$\text{Cd}(\text{OH})_2 + 2e^- \rightarrow \text{Cd} + 2\text{OH}^-$	-0,81	$\text{MnO}_4^{2-} + 2\text{H}_2\text{O} + 2e^- \rightarrow \text{MnO}_2 + 4\text{OH}^-$	+0,60
$\text{Cd}^{2+} + 2e^- \rightarrow \text{Cd}$	-0,40	$\text{Na}^+ + e^- \rightarrow \text{Na}$	-2,71
$\text{Ce}^{3+} + 3e^- \rightarrow \text{Ce}$	-2,48	$\text{Ni}^{2+} + 2e^- \rightarrow \text{Ni}$	-0,23
$\text{Ce}^{4+} + e^- \rightarrow \text{Ce}^{3+}$	+1,61	$\text{NiOOH} + \text{H}_2\text{O} + e^- \rightarrow \text{Ni}(\text{OH})_2 + \text{OH}^-$	+0,49
$\text{Cl}_2 + 2e^- \rightarrow 2\text{Cl}^-$	+1,36	$\text{NO}_3^- + 2\text{H}^+ + e^- \rightarrow \text{NO}_2 + \text{H}_2\text{O}$	-0,80
$\text{ClO}^- + \text{H}_2\text{O} + 2e^- \rightarrow \text{Cl}^- + 2\text{OH}^-$	+0,89	$\text{NO}_3^- + 4\text{H}^+ + 3e^- \rightarrow \text{NO} + 2\text{H}_2\text{O}$	+0,96
$\text{ClO}_4^- + 2\text{H}^+ + 2e^- \rightarrow \text{ClO}_3^- + \text{H}_2\text{O}$	+1,23	$\text{NO}_3^- + \text{H}_2\text{O} + 2e^- \rightarrow \text{NO}_2^- + 2\text{OH}^-$	+0,10
$\text{ClO}_4^- + \text{H}_2\text{O} + 2e^- \rightarrow \text{ClO}_3^- + 2\text{OH}^-$	+0,36	$\text{O}_2 + 2\text{H}_2\text{O} + 4e^- \rightarrow 4\text{OH}^-$	+0,40
$\text{Co}^{2+} + 2e^- \rightarrow \text{Co}$	-0,28	$\text{O}_2 + 4\text{H}^+ + 4e^- \rightarrow 2\text{H}_2\text{O}$	+1,23
$\text{Co}^{3+} + e^- \rightarrow \text{Co}^{2+}$	+1,81	$\text{O}_2 + e^- \rightarrow \text{O}_2^-$	-0,56
$\text{Cr}^{2+} + 2e^- \rightarrow \text{Cr}$	-0,91	$\text{O}_2 + \text{H}_2\text{O} + 2e^- \rightarrow \text{HO}_2^- + \text{OH}^-$	-0,08
$\text{Cr}_2\text{O}_7^{2-} + 14\text{H}^+ + 6e^- \rightarrow 2\text{Cr}^{3+} + 7\text{H}_2\text{O}$	+1,33	$\text{O}_3 + 2\text{H}^+ + 2e^- \rightarrow \text{O}_2 + \text{H}_2\text{O}$	+2,07
$\text{Cr}^{3+} + 3e^- \rightarrow \text{Cr}$	-0,74	$\text{O}_3 + \text{H}_2\text{O} + 2e^- \rightarrow \text{O}_2 + 2\text{OH}^-$	+1,24
$\text{Cr}^{3+} + e^- \rightarrow \text{Cr}^{2+}$	-0,41	$\text{Pb}^{2+} + 2e^- \rightarrow \text{Pb}$	-0,13
$\text{Cs}^+ + e^- \rightarrow \text{Cs}$	-2,92	$\text{Pb}^{4+} + 2e^- \rightarrow \text{Pb}^{2+}$	+1,67
$\text{Cu}^+ + e^- \rightarrow \text{Cu}$	+0,52	$\text{PbSO}_4 + 2e^- \rightarrow \text{Pb} + \text{SO}_4^{2-}$	-0,36
$\text{Cu}^{2+} + 2e^- \rightarrow \text{Cu}$	+0,34	$\text{Pt}^{2+} + 2e^- \rightarrow \text{Pt}$	+1,20
$\text{Cu}^{2+} + e^- \rightarrow \text{Cu}^+$	+0,16	$\text{Pu}^{4+} + e^- \rightarrow \text{Pu}^{3+}$	+0,97
$\text{F}_2 + 2e^- \rightarrow 2\text{F}^-$	+2,87	$\text{Ra}^{2+} + 2e^- \rightarrow \text{Ra}$	-2,92
$\text{Fe}^{2+} + 2e^- \rightarrow \text{Fe}$	-0,44	$\text{Rb}^+ + e^- \rightarrow \text{Rb}$	-2,93
$\text{Fe}^{3+} + 3e^- \rightarrow \text{Fe}$	-0,04	$\text{S} + 2e^- \rightarrow \text{S}^{2-}$	-0,48
$\text{Fe}^{3+} + e^- \rightarrow \text{Fe}^{2+}$	+0,77	$\text{S}_2\text{O}_8^{2-} + 2e^- \rightarrow 2\text{SO}_4^{2-}$	+2,05
$[\text{Fe}(\text{CN})_6]^{3-} + e^- \rightarrow [\text{Fe}(\text{CN})_6]^{4-}$	+0,36	$\text{Sc}^{3+} + 3e^- \rightarrow \text{Sc}$	-2,09
$2\text{H}^+ + 2e^- \rightarrow \text{H}_2$	0, por definición	$\text{Sn}^{2+} + 2e^- \rightarrow \text{Sn}$	-0,14
$2\text{H}_2\text{O} + 2e^- \rightarrow \text{H}_2 + 2\text{OH}^-$	-0,83	$\text{Sn}^{4+} + 2e^- \rightarrow \text{Sn}^{2+}$	+0,15
$2\text{HBrO} + 2\text{H}^+ + 2e^- \rightarrow \text{Br}_2 + 2\text{H}_2\text{O}$	+1,60	$\text{Sr}^{2+} + 2e^- \rightarrow \text{Sr}$	-2,89
$2\text{HClO} + 2\text{H}^+ + 2e^- \rightarrow \text{Cl}_2 + 2\text{H}_2\text{O}$	+1,63	$\text{Ti}^{2+} + 2e^- \rightarrow \text{Ti}$	-1,63
$\text{H}_2\text{O}_2 + 2\text{H}^+ + 2e^- \rightarrow 2\text{H}_2\text{O}$	+1,78	$\text{Ti}^{3+} + e^- \rightarrow \text{Ti}^{2+}$	-0,37
$\text{H}_4\text{XeO}_6 + 2\text{H}^+ + 2e^- \rightarrow \text{XeO}_3 + 3\text{H}_2\text{O}$	+3,0	$\text{Ti}^{4+} + e^- \rightarrow \text{Ti}^{3+}$	0,00
$\text{Hg}_2^{2+} + 2e^- \rightarrow 2\text{Hg}$	+0,79	$\text{Tl}^+ + e^- \rightarrow \text{Tl}$	-0,34
$\text{Hg}_2\text{Cl}_2 + 2e^- \rightarrow 2\text{Hg} + 2\text{Cl}^-$	+0,27	$\text{U}^{3+} + 3e^- \rightarrow \text{U}$	-1,79
$\text{Hg}^{2+} + 2e^- \rightarrow \text{Hg}$	+0,86	$\text{U}^{4+} + e^- \rightarrow \text{U}^{3+}$	-0,61
$2\text{Hg}^{2+} + 2e^- \rightarrow \text{Hg}_2^{2+}$	+0,92	$\text{V}^{2+} + 2e^- \rightarrow \text{V}$	-1,19
$\text{Hg}_2\text{SO}_4 + 2e^- \rightarrow 2\text{Hg} + \text{SO}_4^{2-}$	+0,62	$\text{V}^{3+} + e^- \rightarrow \text{V}^{2+}$	-0,26
		$\text{Zn}^{2+} + 2e^- \rightarrow \text{Zn}$	-0,76

Ref. P. Atkins y J. de Paula, *Química Física*, Ed. Médica Panamericana, Argentina, 2008.

Diagrama de Compresibilidad Generalizado

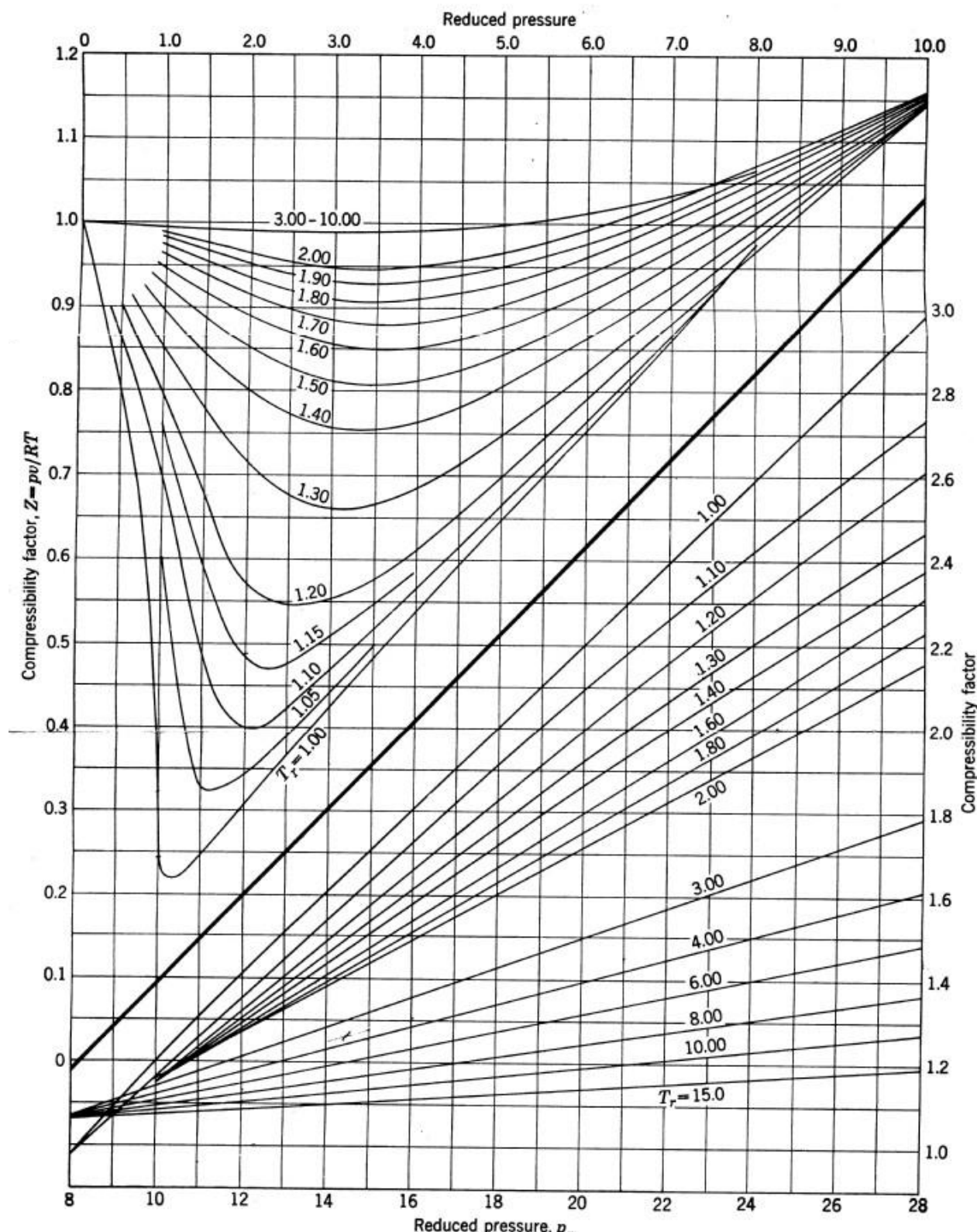
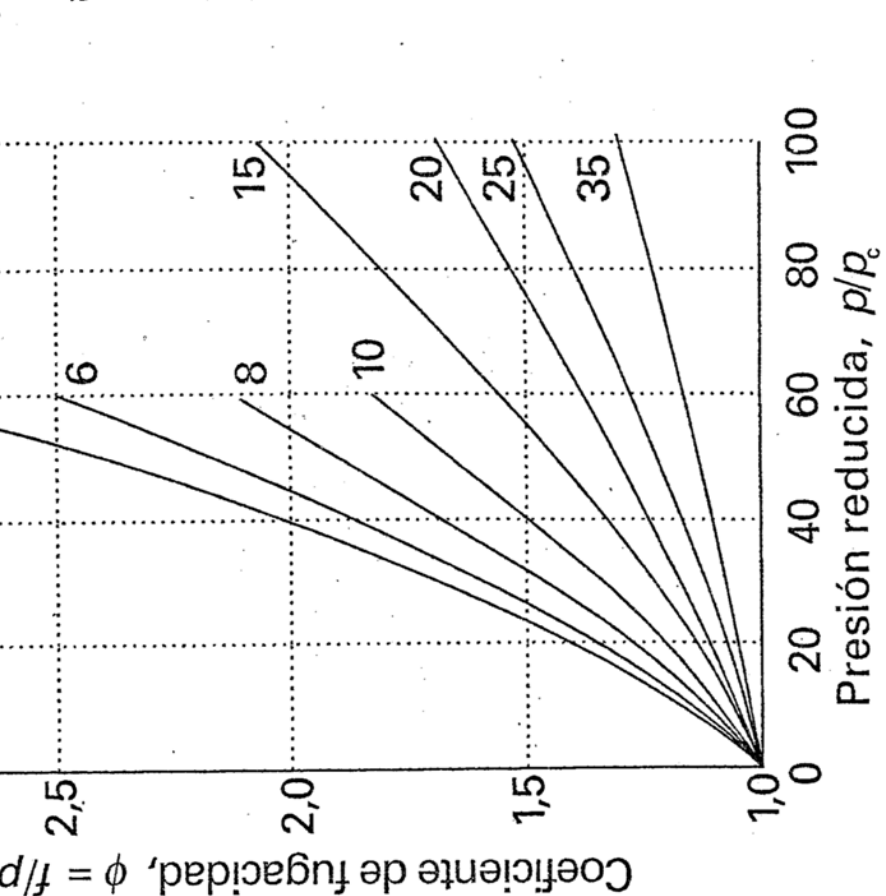
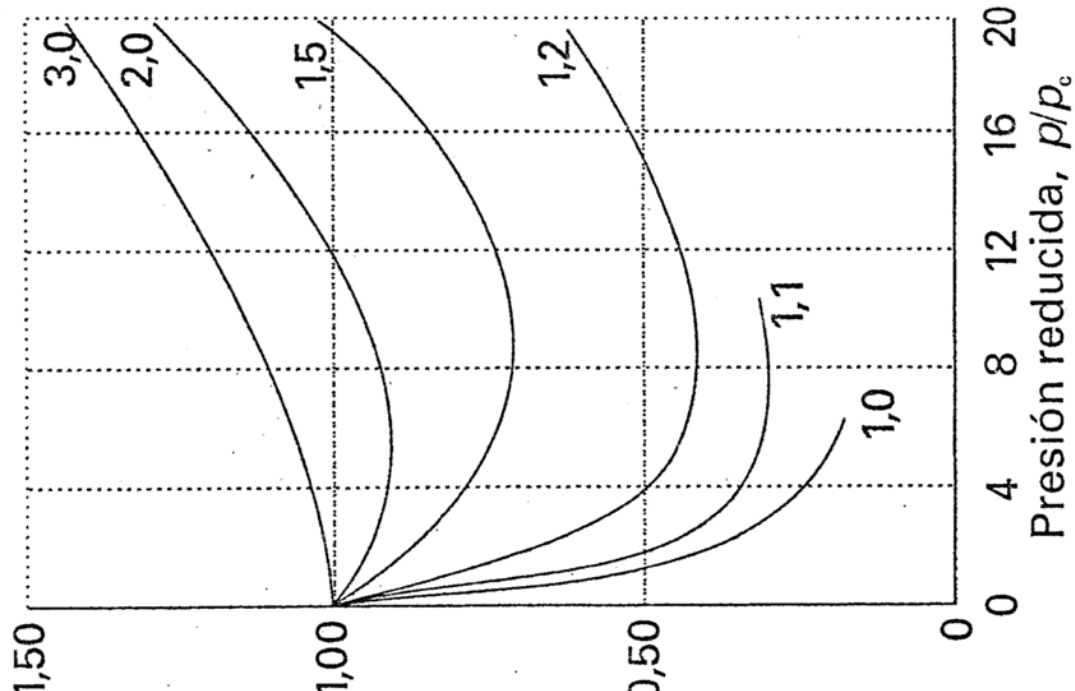


FIG. 4-4b. Generalized compressibility-factor diagram. Medium- and high-pressure range. (Based on data compiled by A. L. Lydersen, R. A. Greenkorn, and O. A. Hougen, *Generalized Thermodynamic Properties of Pure Fluids*, Univ. Wisconsin, Eng. Expt. Sta., Rept. 4, 1955. By permission.)

Ref. J. M. Smith y H .C. Van Ness, Introduction to Chemical Engineering Thermodynamics, Ed. Mc Graw Hill Book Company, Inc., Nueva York, 1959.

Diagrama del Coeficiente de Fugacidad en función de propiedades reducidas



Ref. P. Atkins y J. de Paula, *Química Física*, Ed. Médica Panamericana, Argentina, 2008.